

Journal of Natural Environmental Hazards, Vol.14, Issue 43, March 2025

Performance evaluation of composite remote sensing indices in drought assessment (case study: Chaharmahal and Bakhtiari Province, Iran)

Elham Babaei¹, Mohammad Amin Asadi^{2*}, Seyed Zeinolabedin Hosseini³, Salah Shahmoradi⁴

1. M.A of Watershed Science and Engineering, Faculty of Natural Resources and Desert Studies, Yazd University, Iran.

2. Corresponding Author, Assistant Professor, Faculty of Natural Resources and Desert Studies, Yazd University, Iran

3. Associate professor, Faculty of Natural Resources and Desert Studies, Yazd University, Iran

4. M.A of RS & GIS, Geography group, Yazd University, Iran

Article Info

ABSTRACT

Article type:

Research Article

Article history:

Received: 13 September 2024

Revised: 14 November 2024

Accepted: 04 December 2024

Keywords:

Drought, Chaharmahal and Bakhtiari, Remote sensing composite drought indices, MODIS, CDI.

Drought is a significant natural disaster that requires monitoring to control and minimize its damages. In addition to climate-based drought indices, remote sensing drought monitoring indices are widely used today, especially in regions with limited climate data. These indices utilize satellite images and provide valuable information, resulting in relatively good performance. Furthermore, composite drought indicators are relatively new and multi-variable indices that combine remote sensing indicators for monitoring drought. Studies have shown that the effectiveness of these indicators can also be influenced by the study region. Given the importance of evaluating the performance of new methods in monitoring drought, this study compared the performance of a composite drought monitoring index, CDI, with the VCI, TCI, VHI, and PCI in Chaharmahal and Bakhtiari Province, Iran. CDI is a combination of VCI, TCI, and PCI. The values of the indices were compared with the SPI for the period of 2001-2020, with a time lag of 0 to 8 months by calculating the determination coefficient. For each index, the lag time that provided the highest R² was identified. Precipitation data from 19 rain gauge stations in the study area were used to calculate the SPI on 3 and 6-month time scales. The results showed that the CDI presents by far the highest correlation with SPI values. The coefficient of determination for the VCI on a 6-month time scale with a 3-month time lag was on average 0.30. For the TCI, the average R² is 0.50 in both the 3 and 6-month time scales without a time lag. The average R² for the VHI on a 6-month time scale with a 2-month time lag was 0.41. The average coefficient of determination for the PCI index on a 3-month time scale without a time lag was just 0.32. The CDI index provided the best performance, with an average R² of 0.73 in both the 3 and 6-month time scales without a time lag. While VCI, TCI, and PCI individually showed weak matching with the SPI, combining them into the CDI resulted in a significant correlation with the SPI.

Cite this article: Babaei, E., Asadi Zarch, M. A., Hosseini, S. Z., & Shahmoradi, S. (2025). Performance evaluation of composite remote sensing indices in drought assessment (case study: Chaharmahal and Bakhtiari Province, Iran). Journal of Natural Environmental Hazards, 14(43), 155-180. DOI: 10.22111/jneh.2024.49797.2067



© Mohammad Amin Asadi

DOI: 10.22111/jneh.2024.49797.2067

Publisher: University of Sistan and Baluchestan

* Corresponding Author Email: amin.asadi@yazd.ac.ir

مجله علمی پژوهشی مخارطات محیط طبیعی، دوره ۱۴، شماره ۴۳، پیاپی ۱، بهار ۱۴۰۴

بورسی عملکرد ترکیبی شاخص‌های سنجش از دوری در برآورد خشکسالی (منطقه مورد مطالعه: استان چهارمحال و بختیاری)

الهام بابائی^۱، محمدامین اسدی^{۲*}، سید زین العابدین حسینی^۳، صلاح شاهمرادی^۴

۱. کارشناسی ارشد علوم و مهندسی آبخیزداری، دانشکده منابع طبیعی و کویرشناسی، دانشگاه یزد
۲. استادیار گروه مرتع و آبخیزداری، دانشکده منابع طبیعی و کویرشناسی، دانشگاه یزد (نویسنده مسئول)
۳. دانشیار گروه مرتع و آبخیزداری، دانشکده منابع طبیعی و کویرشناسی، دانشگاه یزد
۴. کارشناسی ارشد سنجش از دور، دانشگاه یزد

چکیده

خشکسالی یکی از مهم‌ترین مخارطات طبیعی است که برآورد و پایش صحیح آن تاثیر زیادی بر مدیریت و کاهش خسارت‌های ناشی از این پدیده دارد. امروزه علاوه بر شاخص‌های خشکسالی مبتنی بر داده‌های اقلیمی، شاخص‌های سنجش از دوری خشکسالی نیز به طور گستردۀ به‌خصوص در مناطقی که با کمبود داده‌های اقلیمی مواجه هستند، مورد استفاده قرار می‌گیرند. با توجه به دسترسی مناسب به تصاویر ماهواره‌ای و اطلاعات قابل توجه ارائه شده توسط این تصاویر، این شاخص‌ها عملکرد نسبتاً مناسبی را ارائه می‌دهند. همچنین، شاخص‌های ترکیبی سنجش از دوری شاخص‌های نسبتاً جدید و چندمتغیره‌ای هستند که برای پایش خشکسالی، تلفیقی از شاخص‌های سنجش از دوری را در نظر می‌گیرند. مطالعات نشان داده است اثربخشی این شاخص‌ها می‌تواند تحت تاثیر مطالعه مورد ترکیبی سنجش از دور گیردد. با توجه به اهمیت ارزیابی کارآیی روش‌های نوین در پایش خشکسالی، عملکرد شاخص ترکیبی سنجش از دور CDI با شاخص‌های سنجش از دوری VCI، TCI، PCI و VHI در استان چهارمحال و بختیاری مقایسه گردید. شاخص CDI ترکیبی از شاخص‌های VCI و TCI می‌باشد. بدین منظور مقادیر شاخص‌های یادشده با مقادیر شاخص خشکسالی اقلیمی SPI در دوره آماری ۲۰۰۱-۲۰۲۰ و با درنظر گرفتن تاخیر زمانی ۰ تا ۸ ماه از طریق محاسبه ضریب تعیین مقایسه شدند. برای هر شاخص تاخیر زمانی که بالاترین ضریب تعیین را ارائه نمود، مشخص شد. برای محاسبه SPI، از داده‌های بارش ۱۹ ایستگاه باران‌سنجی منطقه مطالعه در مقیاس‌های زمانی ۳ و ۶ ماهه استفاده شد. نتایج نشان داد شاخص ترکیبی CDI با اختلاف قابل توجه بیشترین تطابق را با مقادیر SPI ارائه می‌دهد. بر اساس نتایج، بالاترین ضریب تعیین برای شاخص VCI در مقیاس زمانی شش ماهه با تاخیر زمانی ۳ ماه به طور میانگین برابر ۰,۳۰ می‌باشد. برای شاخص TCI، مقدار R² میانگین برابر ۰,۵۰ در هر دو مقیاس سه و شش ماهه و بدون تاخیر زمانی می‌باشد. R² میانگین برای شاخص VHI در مقیاس شش ماهه با تاخیر دو ماه برابر ۰,۴۱ محاسبه شد. ضریب تعیین میانگین برای PCI در مقیاس سه ماهه و بدون تاخیر زمانی برابر ۰,۳۲ به دست آمد. در نهایت شاخص CDI عملکرد بسیار بهتری را ارائه کرد. مقدار R² میانگین در هر دو مقیاس زمانی سه و شش ماهه و بدون تاخیر زمانی برابر ۰,۸۳ به دست آمد. بنابراین، در حالی که هر یک از سه شاخص VCI، TCI و PCI به صورت مجزا تطابق نسبتاً ضعیفی را با SPI ارائه کردند، تلفیق آنها در قالب شاخص CDI تطابق قابل توجهی را با SPI ارائه کرد.

نوع مقاله: مقاله پژوهشی

تاریخ دریافت: ۱۴۰۳/۰۶/۲۳

تاریخ ویرایش: ۱۴۰۳/۰۸/۲۴

تاریخ پذیرش: ۱۴۰۳/۰۹/۱۴

واژه‌های کلیدی:

خشکسالی، چهارمحال و بختیاری، شاخص‌های ترکیبی سنجش از دوری خشکسالی، سنجنده مودیس.

استناد: بابائی، الهام، اسدی، محمد امین، حسینی، سید زین العابدین، شاهمرادی، صلاح. (۱۴۰۴). بررسی عملکرد شاخص‌های سنجش از دوری

ترکیبی در برآورد خشکسالی (منطقه مورد مطالعه: استان چهارمحال و بختیاری). مخارطات محیط طبیعی، ۴۳(۱۴)، ۱۵۵-۱۸۰.

DOI: 10.22111/jneh.2024.49797.2067



© الهام بابائی، محمدامین اسدی*، سید زین العابدین حسینی، صلاح شاهمرادی.

ناشر: دانشگاه سیستان و بلوچستان

مقدمه

زندگی بشر در طول تاریخ و در سراسر دنیا همواره در معرض انواع مخاطرات طبیعی قرار داشته است که بخشی از این خطرات و حوادث ناشی از فرآیندهای آب و هوایی است و در این میان خشکسالی از اهمیت و گستردگی قابل- ملاحظه‌ای برخوردار است (اوریمولوی^۱ و همکاران، ۲۰۲۲). خشکسالی وضعیتی عادی و مستمر از اقلیم است که معمولاً در کل مناطق اقلیمی از مربوط تا خشک اتفاق می‌افتد (آلت^۲، ۲۰۲۰)؛ ولی ویژگی‌های آن از یک ناحیه یا اکوسیستم به ناحیه یا اکوسیستم دیگر کاملاً متفاوت است. پیامدها و فراوانی خشکسالی در مناطق خشک و نیمه- خشک بیشتر آشکار می‌شود (ترابی حقیقی^۳ و همکاران، ۲۰۲۰). خشکسالی به عنوان کاهش آب در دسترس نسبت به میانگین بلندمدت در نظر گرفته می‌شود. موقع خشکسالی باعث کاهش رطوبت خاک، کاهش جریانات آب سطحی و زیر قشری و درنتیجه تضعیف دریاچه‌ها و مخازن، کاهش تغذیه و منابع آب زیرزمینی می‌شود (پروازه^۴ و همکاران، ۲۰۲۱). اثرات مستقیم خشکسالی بیشتر به مشخصه‌های اقلیمی و اکولوژیکی ارتباط دارند، در حالی‌که، اثرات غیرمستقیم خشکسالی که پهناورتر و نامحسوس‌تر هستند، به آسیب‌های اجتماعی و اقتصادی آن ارتباط دارند (شفیعی و همکاران، ۱۳۹۸). خشکسالی یک پدیده آرام و خرزشی است و بر عکس سیل که زمان آغاز و پایان و همچنین گستره جغرافیایی و موقع آن کاملاً مشخص است، توصیف زمانی و مکانی بسیار دشواری دارد.

مایبن وقوع خشکسالی‌های پیاپی و پدیده تغییر اقلیم رابطه تنگاتنگی وجود دارد. بنابراین، درک اثرات تغییر اقلیم بر وقوع خشکسالی برای مدیریت جامع منابع آب از اهمیت بالایی برخوردار است (اسدی زارچ^۵، ۲۰۲۲). تغییر اقلیم باعث تغییر در میزان انرژی و تبادل آن در سیستم اقلیم می‌شود. به همین علت بر روی چرخه هیدرولوژی تأثیر شدیدی می‌گذارد. گرم شدن و افزایش دمای کره زمین موجب افزایش تبخیر و زیاد شدن تراکم بخار آب در جو می- شود. درنتیجه مقدار و الگوهای زمانی - مکانی بارش اعم از برف و باران تغییر می‌کند (ماینا و کومار^۶، ۲۰۲۳). براساس پژوهش‌های انجام‌شده، افزایش میزان دما به‌طور بالقوه توانایی تغییر در چرخه آب را داراست و درنتیجه ناهنجاری‌های هیدرואقلیمی همچون خشکسالی را شدت می‌بخشد (پراتاپ و مارکونیس^۷، ۲۰۲۲). یا به عبارتی، وقوع خشکسالی بر اثر کاهش در مقدار بارش یا افزایش تبخیر و تعرق اتفاق می‌افتد (شهربازی و همکاران، ۱۳۹۹). در مجموع طبق گزارش IPCC، دیدگاه‌های مختلف پیش‌بینی تغییر اقلیم در آینده، نگرانی‌های زیادی را درخصوص اثر افزایش گرمایش زمین و انتشار گازهای گلخانه‌ای بر منابع آب کشورهای خشک و نیمه‌خشک مطرح نموده است. این دیدگاه‌ها نشانگر خشک‌تر شدن وضعیت اقلیمی خاورمیانه از جمله ایران است. بر این اساس انتظار می‌رود که در سال ۲۰۵۰، ایران با کاهش ۲۰ الی ۲۵ درصدی بارش مواجه گردد (کرمی، ۱۳۹۵).

تخمین خشکسالی به عنوان یکی از استراتژی‌های مقابله با این پدیده طبیعی و کم کردن ردپاهای مخرب آن امری است که در دهه‌های اخیر توجه کارشناسان هواشناسی و کشاورزی را به خود جلب کرده است و تلاش‌های مختلفی برای ارزیابی و پیش‌بینی این پدیده توسط سازمان‌های مرتبط صورت گرفته است. برای بررسی کمی و کیفی پدیده

1 Orimoloye

2 Ault

3 Torabi Haghghi

4 Parvaze

5 Asadi Zarch

6 Maina & Kumar

7 Pratap & Markonis

خشکسالی از شاخص‌های خشکسالی استفاده می‌شود. هیچ کدام از شاخص‌ها به طور ماهیتی برتر از بقیه نیستند، بلکه هر کدام برای راهبرد مخصوص خود می‌تواند مناسب‌تر از دیگر شاخص‌ها باشد. یک شاخص خشکسالی زمانی کارا است که قادر باشد پایش کمی، ساده و روشی از ویژگی‌های اصلی خشکسالی یعنی تداوم، شدت، فراوانی و سطح درگیر با خشکسالی را آشکار سازد (زانگ^۱ و همکاران، ۲۰۲۴).

در دهه‌های قبل کاوش‌های گوناگونی برای وصف کردن پدیده خشکسالی و متوجه شدن الگوی بارندگی فصول خشک در زمان و مکان برای روپرتو شدن با وضعیت خشکسالی به کمک شاخص‌های خشکسالی انجام گردیده است. به طور کلی پیش‌تر برای ارزیابی کمی و کیفی پدیده خشکسالی، از شاخص‌های اقلیمی خشکسالی متفاوتی استفاده می‌شد که می‌توان به شاخص دهکه‌های بارندگی (DPI)، شاخص شدت خشکسالی پالمر (PDSI)، شاخص درصد نرمال بارش (PNPI)، شاخص ذخیره آب سطحی (SWSI)، شاخص بارش موثر (SPI)، شاخص رطوبت زراعی (CMI)، شاخص خشکسالی احیایی (RDI) و شاخص ناهنجاری‌های بارندگی (RAI) اشاره کرد که به کمک داده‌های آب‌وهوایی و هیدرولوژیکی ایستگاه‌های زمینی محاسبه می‌شوند و هر کدام به متغیرها و تغییرات آب‌وهوایی حساسیت‌های مختلفی دارد. اما این شاخص‌ها به دلیل کمبود داده‌های ایستگاه‌های زمینی اغلب با محدودیت مواجه هستند و توانایی آن‌ها در پایش و ارزیابی نزدیک به زمان واقعی این پدیده کم است (آل‌هکون و ادیریسینگه^۲، ۲۰۲۲).

برخی از شاخص‌های خشکسالی تک‌متغیره هستند، مانند SPI که فقط بر اساس بارش می‌باشد. در حالی که برخی دیگر دو‌متغیره هستند، مانند شاخص تبخیر و تعرق استانداردهای بارش (SPEI) که بر اساس بارش و تبخیر و تعرق پتانسیل می‌باشد. همچنین شاخص‌های خشکسالی چندمتغیره نیز مانند شاخص خشکسالی ترکیبی (CDI) وجود دارد (غزاله^۳ و همکاران، ۲۰۲۱). شاخص‌های منفرد (تک‌متغیره) برای نقاط خاص و هدف و کاربردی معین، تا میزان زیادی بهتر هستند؛ اما نمایش جامعی از خصوصیت‌های خشکسالی به عنوان یک پدیده پیچیده هواشناسی نمایان نمی‌کنند. به همین دلیل تلاش‌هایی برای پیشرفت شاخص‌های چندمتغیره بر پایه ترکیب شاخص‌های گوناگون خشکسالی یا معرفه‌های گوناگون خشکسالی جهت ارائه نمایشی جامع از وضعیت و خصوصیت‌های خشکسالی، از سال‌های قبل شروع شده و در حال حاضر نیز ادامه دارد.

تشخیص شروع و شدت خشکسالی در بیشتر مناطق جهان به دلیل تعداد ناکافی ایستگاه‌های هواشناسی برای محققان یک معضل می‌باشد. با این حال، داده‌های سنجش از دوری مبتنی بر تصاویر ماهواره‌ای با ارائه یک روش سریع و اقتصادی برای ارائه داده‌های مورد نیاز، تا حدی مشکل را حل کرده است (غزاله و همکاران، ۲۰۲۱). در دهه‌های اخیر فناوری سنجش از دور به دلیل جمع‌آوری داده‌های مکانی در مقیاس بزرگ و به روز بودن و بهره جستن از فن‌های طیفی، به طور گسترده در پژوهش‌های پایش خشکسالی مورد استفاده قرار گرفته است. شاخص‌های PCI، TCI، VCI و NDVI به عنوان شاخص‌های اولیه سنجش از دوری معرفی شدند که بر اساس پاسخ طیفی متفاوت عوارض سطح زمین عمل می‌کنند. در سال‌های اخیر محققین با تلاش زیاد سعی کردند تا با ترکیب مولفه‌های مختلف مانند بارش،

¹ Zhang

² Alahacoon & Edirisinghe

³ Ghazala

دمای سطح زمین، سلامت پوشش گیاهی و نظیر آن، شاخص‌های سنجش از دوری را ارتقا داده و شاخص‌های ترکیبی سنجش از دوری با عملکرد بهتر نسبت به یک شاخص منفرد را ارائه دهنده. توسعه شاخص‌های ترکیبی خشکسالی در دو مرحله اصلی انجام می‌گیرد:

۱) تعیین متغیرها یا شاخص‌های ورودی (سنجش از دوری، اقلیمی، هیدرولوژیکی و ...) جهت ترکیب و ایجاد شاخص تلفیقی جدید،

۲) وزن دهی هر یک از متغیرها یا شاخص‌های ورودی انتخاب شده بر اساس اهمیت هر یک به نحوی که مجموع اوزان اختصاص یافته برابر با یک باشد.

شاخص‌های تلفیقی خشکسالی به طور جامع همه اشکال فیزیکی خشکسالی را از طریق انتخاب متغیرهای مرتبط به هر نوع خشکسالی شامل می‌شود. با این حال، اثربخشی این شاخص‌ها با توجه به پایش خشکسالی وابسته به منطقه است و بسیاری از این شاخص‌ها ممکن است برای درک نقش تک متغیرها در شکل‌گیری خشکسالی کافی نباشند (لیو^۱ و همکاران، ۲۰۲۰). شاخص CDI از جمله این شاخص‌های ترکیبی خشکسالی چندمتغیره می‌باشد (خدائی و همکاران، ۱۳۹۴). شاخص CDI مورد استفاده در این مطالعه بر اساس سه مجموعه داده است که توسط سازمان غذا و کشاورزی سازمان ملل متحد (FAO) توسعه یافته است (بایسا^۲ و همکاران، ۲۰۱۹؛ بالینت^۳ و همکاران، ۲۰۱۳). در این روش برای محاسبه CDI از داده‌های بارش، NDVI و دمای سطح زمین استفاده می‌شود.

نظری پور (۱۳۹۴) به توسعه یک شاخص ترکیبی چندمتغیره بر پایه تحلیل مؤلفه مبنای ارزیابی خشکسالی‌های آب - هواشناختی در حوضه سد پیشین در جنوب شرق ایران پرداخت. نتایج نشان داد شاخص ترکیبی خشکسالی تعریف شده یک رویکرد عینی و واضح برای توصیف شدت خشکسالی‌های تلفیقی فراهم می‌کند و به خوبی قادر به نمایش گذاشتن رفتار خشکسالی‌های آب - هواشناختی محدوده مورد مطالعه می‌باشد. زارع بیدکی و همکاران (۱۴۰۱) با استفاده از تلفیق داده‌های هواشناسی و سنجش از دور، خشکسالی در دشت یزد - اردکان را پهنه‌بندی کردند. شاخص SPI با استفاده از مقادیر بارش، شاخص SAVI با استفاده از تصاویر لندست و شاخص تلفیقی IDI با استفاده از دما، بارش و شاخص SAVI محاسبه شد. نتایج بیانگر کارآیی شاخص تلفیقی مورد استفاده در پایش خشکسالی در منطقه مورد مطالعه بود. نظری پور و همکاران (۱۳۹۴) در پژوهشی به بررسی خشکسالی هیدرو-متئورولوژیکی با استفاده از شاخص‌های تلفیقی خشکسالی در حوضه رودخانه سرباز پرداختند. نتایج نشان داد که روش‌شناسی شاخص تلفیقی خشکسالی مورد استفاده، یک رویکرد عینی و واضح را برای توصیف شدت خشکسالی فراهم می‌کند.

کاظم‌پور چورسی و همکاران (۱۳۹۸) به بررسی و ارزیابی داده‌های سنجش از دور در پایش خشکسالی حوضه آبریز دریاچه ارومیه پرداختند. نتایج نشان داد با استفاده از شاخص‌های ماهواره‌ای مطلوب ارائه شده، امکان پیش‌بینی و برآورد منطقه‌ای پدیده خشکسالی حوضه آبریز دریاچه ارومیه در ماه‌های مختلف فصل رشد یا طی فصل رشد به صورت مطلوب وجود دارد. پژوهش‌های دو^۴ و همکاران (۲۰۱۳)، شمسی‌پور و همکاران (۱۳۹۱)، رضایی مقدم و

¹ Liu

² Baisa

³ Balint

⁴ Du

همکاران (۱۳۸۹) و جهانبخش و همکاران (۱۳۸۹) نیز نشان داده که بهره‌گیری از تصاویر ماهواره‌ای روش مطلوبی برای ارزیابی خشکسالی در نقاط گوناگون کشور است که با نتایج این مطالعه نیز همخوانی دارد. لیو^۱ و همکاران (۲۰۲۰) برای نظارت بر خشکسالی مناطق خشک در شمال چین شاخص ترکیبی خشکسالی را با استفاده از ادغام MODIS بارش حاصل از داده TRMM، رطوبت خاک از GLDAS-2.1، دمای سطح زمین (LST) از تصاویر ماهواره SPEI و شاخص تفاوت پوشش گیاهی نرم‌الشده (NDVI) از ماه سپتامبر ۲۰۱۷ به بعد را به کار برند. تحلیل‌های همبستگی پیرسون بین شاخص‌های خشکسالی سنجش از دوری و شاخص SPEI، در مقیاس‌های زمانی مختلف نشان داد تطابق بین MCDI و SPEI بیشتر از سایر شاخص‌ها و SPEI بود. بنابراین، MCDI به عنوان یک روش و شاخص موثر برای نظارت بر خشکسالی در سراسر استان شاندونگ و مناطق مشابه توصیه شد.

بر اساس گزارش سازمان ملل متحده، ایران طی سال‌های اخیر دچار خشکسالی‌های پیاپی بوده است و با کمبود شدید منابع آبی مواجه می‌باشد (طباطبایی‌زاده و همکاران، ۱۳۹۳). استان چهارمحال و بختیاری با وجود اینکه مساحت نسبتاً کمی از کشور را دارد، اما حدود ۱۰ درصد از منابع آب کشور را در خود جای داده که همین موضوع اهمیت پایش وضعیت خشکسالی را در این استان را دوچندان می‌نماید (محیط اصفهانی و همکاران، ۱۳۹۹). بنابراین، این پژوهش به منظور ارزیابی عملکرد شاخص‌های ترکیبی سنجش از دوری در شناسایی و تخمین خشکسالی در منطقه چهارمحال و بختیاری انجام شد. بر اساس مرور منابع انجام شده، مطالعه مشابهی در منابع یافت نشد.

داده‌ها

در این قسمت ابتدا داده‌های مورد استفاده معرفی شده و سپس چگونگی محاسبه شاخص‌های خشکسالی مورد استفاده در این مقاله تشریح شده است. در ادامه نحوه محاسبه شاخص ترکیبی CDI ارائه شده است.

منطقه مورد مطالعه

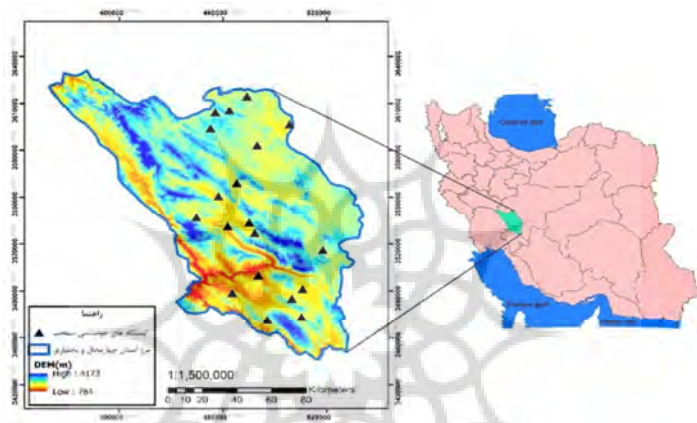
استان چهارمحال و بختیاری با مساحت حدودی ۱۶۴۲۱ کیلومتر مربع حدفاصل ۳۱ درجه و ۹ دقیقه تا ۳۲ درجه و ۴۸ دقیقه عرض شمالی و ۴۹ درجه و ۲۸ دقیقه تا ۵۱ درجه و ۲۵ دقیقه طول شرقی قرار گرفته است. این استان در ناحیه مرکزی کوه‌های زاگرس بین پیش کوه‌های داخلی و استان اصفهان قرار گرفته است. از شمال و شرق به استان اصفهان، از غرب به استان خوزستان، از جنوب به استان کهگیلویه و بویراحمد و از شمال غرب به استان لرستان محصور شده است. استان چهارمحال و بختیاری با متوسط ارتفاع ۲۱۵۳ متر از دیدگاه توپوگرافی، یک پهنه مرتفع کوهستانی می‌باشد. زردکوه با ارتفاع ۴۲۲۱ متر در شمال غرب، بلندترین نقطه استان و کم ارتفاع‌ترین نقطه آن در قسمت‌های جنوب غربی، در نقطه خروج کارون با ارتفاع حدودی ۸۰۰ متر می‌باشد. به دلیل کوهستانی بودن استان و با توجه به این که دما هوا ناشی از ارتفاع هر منطقه است، اقلیم‌های حرارتی مختلفی در استان حکم فرماست. متوسط دمای ثبت شده در ایستگاه‌های موجود در استان نشان می‌دهد که لردگان گرم‌ترین و شهرکرد سردترین شهرستان استان می‌باشد. در این استان، عموماً تیرماه گرم‌ترین و دی‌ماه سردترین ماه سال است. نوع بارش در مناطق مرتفع غالباً به صورت برف است و وجود ارتفاعات پوشیده از برف یکی از ویژگی‌های اقلیمی این استان است. بارش‌ها از

^۱ Liu

مهرماه آغاز و در دی به بیشترین حد خود می‌رسد و از این زمان تا اردیبهشت به تدریج کاهش پیدا می‌کند (خلیلی فرد و کرکه آبدی، ۱۳۹۷). نقشه موقعیت استان چهارمحال و بختیاری در کشور در شکل ۱ نشان داده است.

ایستگاه‌های هواشناسی

در این مطالعه از داده‌های بارش ۱۹ ایستگاه باران‌سنجی استان چهارمحال و بختیاری در دوره آماری ۲۰۰۱ تا ۲۰۲۰ (۲۰ سال) برای محاسبه شاخص SPI استفاده شده است. نقشه موقعیت ایستگاه‌های مورد استفاده در شکل ۱ نمایش داده شده است.



شکل ۱: نقشه منطقه مورد مطالعه و موقعیت مکانی ایستگاه‌های هواشناسی

تعیین دوره آماری و داده‌های مورد استفاده

در این پژوهش داده‌های بارش ماهیانه ۱۹ ایستگاه باران‌سنجی در محدوده استان چهارمحال و بختیاری برای محاسبه شاخص SPI مورد استفاده قرار گرفته است. همان‌گونه که در جدول ۱ نشان داده شده است، در محاسبه شاخص‌های سنجش‌ازدوری از داده‌های شاخص تفاضل نرمال شده پوشش گیاهی (NDVI) و داده‌های دمای سطح زمین (LST) از ماهواره MODIS و داده‌های بارندگی سری B43۳ ماهواره TRMM استفاده شده است. همان‌گونه که بیان گردید، طول دوره آماری استفاده شده در این پژوهش از سال ۲۰۰۱ تا ۲۰۲۰ به مدت ۲۰ سال در نظر گرفته شده است.

جدول ۱: محصولات سنجش‌ازدور ماهواره‌ای مورد استفاده در این مطالعه

قدرت تفکیک مکانی	قدرت تفکیک زمانی	نوع داده	محصول	ماهواره
۱×۱ کیلومتر	ماهانه	NDVI	MOD13A3	Terra(MODIS)
۱×۱ کیلومتر	روزه	LST	MOD11A2	Terra(MODIS)
۰,۲۵×۰,۲۵ درجه	ماهانه	Precipitation	TRMM 3B43	TRMM

شاخص بارش استانداردشده (SPI)

مک‌کی^۱ و همکاران (۱۹۹۳) شاخص SPI را به منظور ارزیابی خشکسالی هواشناسی ایالت کلرادوی آمریکا پیشنهاد دادند. برای بدست آوردن این شاخص در مرحله اول با برآش توزیع گاما بر آمارهای بارش ماهانه یا حاصل جمع بارش در هر گستره زمانی مورد نظر،تابع احتمال تجمعی آن را حساب کرده و سپس با انتقال آن به توزیع تجمعی نرمال استانداردشده، مقادیر شاخص SPI حاصل می‌شود. از مزیت‌های این روش ارزیابی خشکسالی در واحدهای زمانی متفاوت است. تعداد زیادی از برنامه‌ریزان و طراحان در حوزه خشکسالی، چند کاره بودن شاخص SPI را بسیار مفید و صفت می‌کنند (جی و پترز^۲، ۲۰۰۳). در این مطالعه، برای محاسبه SPI از برآش مقادیر بارش به توزیع گاما استفاده شده است (اسدی زارچ و همکاران، ۲۰۱۵). نحوه طبقه‌بندی خشکسالی توسط شاخص SPI در جدول ۲ ارائه شده است. در این مطالعه SPI به صورت سری‌های زمانی ۳ و ۶ ماهه محاسبه شده است.

جدول ۲: طبقه‌بندی وضعیت خشکسالی بر اساس شاخص SPI (لیوادا و آسمیاکوبولوس^۳، ۲۰۰۷)

طبقه‌بندی خشکسالی	SPI	مقدار شاخص
به شدت مرطوب	۲	و بیشتر از آن
خیلی مرطوب	۱/۹۹ تا ۱/۵	
نسبتاً مرطوب	۱/۴۹ تا ۱/۰۰	
مرطوب ملایم	۰/۹۹ تا ۰	
خشکسالی ملایم	۰-۰/۹۹ تا ۰	
نسبتاً خشک	-۱/۴۹-۱/۰۰ تا -	
خیلی خشک	-۱/۹۹-۱/۵۰ تا -	
به شدت خشک	-۲/۰۰ و کمتر از آن	

شاخص وضعیت پوشش گیاهی (VCI)

این شاخص در سال ۱۹۹۵ توسط کوگان ارائه شد که به واسطه گستره‌های از مقادیر NDVI بلندمدت، ارزیابی و نرمال شد (کوگان^۴، ۱۹۹۵). این رویه، درصد مقدار شرایط غالب تغییرات پوشش گیاهی را نمایان می‌کند. گستره این شاخص از ۰ تا ۱ می‌باشد که مقادیر کم، وضعیت استرس و تنفس گیاهی، مقادیر وسط، وضعیت متوسط و مقادیر بالا وضعیت مطلوب را ارائه می‌دهد (دماؤندی و همکاران، ۱۳۹۵). در این مطالعه، مقادیر VCI بر اساس درصد درنظر گرفته شده است. این شاخص طبق رابطه ۳ بدست می‌آید که در آن، VCI شاخص وضعیت پوشش گیاهی، $NDVI_{min}$ و $NDVI_{max}$ به ترتیب میانگین حداقل و میانگین حداقل بلندمدت و مقدار $NDVI_i$ در گام زمانی برای هر پیکسل است. جدول ۳ طبقه‌بندی وضعیت خشکسالی بر اساس این شاخص را نمایش می‌دهد.

$$VCI = \frac{NDVI_i - NDVI_{min}}{NDVI_{max} - NDVI_{min}} * 100 \quad (3)$$

¹ McKee

² Ji & Peters

³ Livada & Assimakopoulos

⁴ Kogan

جدول ۳: طبقه‌بندی وضعیت خشکسالی براساس شاخص VCI (کوکونوری^۱ و همکاران، ۲۰۲۰)

VCI	وضعیت خشکسالی	مقدار شاخص
$VCI < 10$	خشکسالی بسیار شدید	
$10 < VCI < 20$	خشکسالی شدید	
$20 < VCI < 30$	خشکسالی متوسط	
$30 < VCI < 40$	خشکسالی خفیف	
$VCI \geq 40$	بدون خشکسالی	

شاخص وضعیت دمایی (TCI)

این شاخص نیز توسط کوگان در سال ۱۹۹۵ ارائه شده است که برای تشخیص رویداد خشکسالی وابسته به درجه حرارت، تشریح شده است. با پذیده خشکسالی، رطوبت خاک کاسته می‌شود که در نتیجه تنفس حرارتی سطح زمین را به همراه دارد. بنابراین، مقدار LST^2 در سال‌های خشکسالی بیشتر برآورد می‌شود. الگوریتم محاسباتی این شاخص مشابه با شاخص VCI می‌باشد؛ ولی معادله آن برای بازنگاری پوشش گیاهی تشریح شده است که از رابطه 4 به دست می‌آید که در این رابطه TCI شاخص وضعیت دما، LST_{min} و LST_{max} به ترتیب میانگین حداقل و میانگین حداقل بلندمدت و LST_i مقدار LST در گام زمانی Δ برای هر پیکسل می‌باشد. جدول 4 طبقه‌بندی وضعیت خشکسالی براساس این شاخص را نمایش می‌دهد.

$$TCI = \frac{LST_{max} - LST_i}{LST_{max} - LST_{min}} \quad (4)$$

جدول ۴: طبقه‌بندی وضعیت خشکسالی براساس شاخص TCI (زو^۳ و همکاران، ۲۰۲۰)

TCI	وضعیت خشکسالی	مقدار شاخص
$TCI < 10$	خشکسالی بسیار شدید	
$10 < TCI < 20$	خشکسالی شدید	
$20 < TCI < 30$	خشکسالی متوسط	
$30 < TCI < 40$	خشکسالی خفیف	
$TCI \geq 40$	بدون خشکسالی	

شاخص سلامت پوشش گیاهی (VHI)

شاخص VHI در واقع شاخص ترکیبی VCI و TCI است که نتیجه پوشش گیاهی و درجه حرارت سطح کره زمین را در ارزیابی خشکسالی نمایان می‌کند. این شاخص از رابطه 5 به دست می‌آید که در آن VHI شاخص سلامت گیاه و VCI و TCI هم به ترتیب شاخص وضعیت گیاه و دما می‌باشد (کوگان و همکاران، ۲۰۰۴). جدول 5 طبقه‌بندی وضعیت خشکسالی براساس این شاخص را نمایش می‌دهد.

$$VHI = 0.5(VCI) + 0.5(TCI) \quad (5)$$

¹ Kukunuri

² Land Surface Temperature

³ Zou

جدول ۵: طبقه‌بندی وضعیت خشکسالی براساس شاخص VHI (کوگان و همکاران، ۲۰۰۴)

VHI	وضعیت خشکسالی	مقدار شاخص
VHI < 10	خشکسالی بسیار شدید	
10 < VHI < 20	خشکسالی شدید	
20 < VHI < 30	خشکسالی متوسط	
30 < VHI < 40	خشکسالی خفیف	
VHI ≥ 40	بدون خشکسالی	

شاخص وضعیت بارندگی (PCI)

داده‌های بارش TRMM مستقیماً با شاخص‌های VCI و TCI امکان تجزیه و تحلیل ندارند؛ بنابراین از شاخص PCI استفاده می‌کنیم. شاخص وضعیت بارش برای تشخیص کسری بارندگی و خشکسالی استفاده می‌شود. این شاخص از رابطه ۶ محاسبه می‌شود که در آن، $TRMM_i$ و $TRMM_{min}$ به ترتیب مقادیر بارش هر پیکسل، حداقل و حداقل آن در ماه i در طول دوره آماری می‌باشد (دو^۱ و همکاران، ۲۰۱۳). جدول ۶ طبقه‌بندی وضعیت خشکسالی بر اساس شاخص PCI را نمایش می‌دهد.

$$PCI = \frac{TRMM_i - TRMM_{min}}{TRMM_{max} - TRMM_{min}} \quad (6)$$

جدول ۶: طبقه‌بندی وضعیت خشکسالی براساس شاخص PCI (دو و همکاران، ۲۰۱۳)

PCI	وضعیت خشکسالی	مقدار شاخص
PCI < 10	خشکسالی بسیار شدید	
10 < PCI < 20	خشکسالی شدید	
20 < PCI < 30	خشکسالی متوسط	
30 < PCI < 40	خشکسالی خفیف	
PCI ≥ 40	بدون خشکسالی	

شاخص ترکیبی خشکسالی (CDI)

برای محاسبه CDI از داده‌های بارش، NDVI و دمای هوا طبق رابطه ۷ استفاده می‌شود. در این رابطه CDI_i شاخص ترکیبی خشکسالی برای بازه زمانی i می‌باشد. همچنین VCI_i , TCI_i , PCI_i به ترتیب نشان‌دهنده مقادیر شاخص وضعیت بارندگی، شاخص وضعیت دما و شاخص وضعیت پوشش گیاهی ماهانه هستند. W وزن هر یک از اجزای تشکیل‌دهنده CDI می‌باشد. مقدار W برای VCI_i , TCI_i و PCI_i به ترتیب ۰,۰۵, ۰,۲۵ و ۰,۲۵ است (العیله^۲ و همکاران، ۲۰۱۹؛ البکری^۳ و همکاران، ۲۰۱۹).

$$CDI_i = (W_{PCI} \times PCI_i) + (W_{TCI} \times TCI_i) + (W_{VCI} \times VCI_i) \quad (7)$$

¹ Du

² Al Adaileh

³ Al-Bakri

تفسیر مقادیر CDI و طبقه‌بندی مربوط به آن در جدول ۷ آمده است. در این مطالعه مقادیر شاخص PCI برای بارش، مقادیر شاخص TCI برای دما و درنهایت مقادیر شاخص VCI به عنوان پوشش گیاهی مورد استفاده قرار گرفتند. شاخص CDI کمبود بارش، تنفس حرارتی خاک و وضعیت رشد پوشش گیاهی را در فرآیند خشکسالی ترکیب می‌کند و از این جهت برای پایش جامع خشکسالی مناسب می‌باشد.

جدول ۷: طبقه‌بندی وضعیت خشکسالی براساس شاخص CDI (بالینت و همکاران، ۲۰۱۳)

مقدار شاخص CDI	وضعیت خشکسالی
$CDI < 0.4$	خشکسالی بسیار شدید
$0.4 < CDI < 0.6$	خشکسالی شدید
$0.6 < CDI < 0.8$	خشکسالی متوسط
$0.8 < CDI < 1$	خشکسالی ملایم
$CDI > 1$	بدون خشکسالی

رابطه بین شاخص‌های سنجش‌ازدوری و SPI

در این مطالعه ضریب تعیین بین داده‌های SPI و شاخص‌های سنجش‌ازدوری در مقیاس‌های زمانی ۳ و ۶ ماهه و با تاخیر زمانی ۰ تا ۸ ماه محاسبه و مورد بررسی قرار گرفت. برای هر شاخص، تاخیر زمانی که بالاترین مقدار ضریب تعیین را ارائه نمود، در محاسبات به عنوان ضریب تعیین شاخص مربوطه درنظر گرفته شد. برای کاهش نوسانات موقتی در مقادیر شاخص‌ها و در نتیجه بهتر نشان داده شدن همبستگی بین شاخص‌ها، شاخص‌ها در مقیاس زمانی سه و شش ماهه (میانگین متحرک سه و شش ماهه) با هم مقایسه شدند.

مقایسه مقادیر شاخص‌های سنجش‌ازدوری در موقعیت مکانی ایستگاه‌های هواشناسی با مقادیر SPI

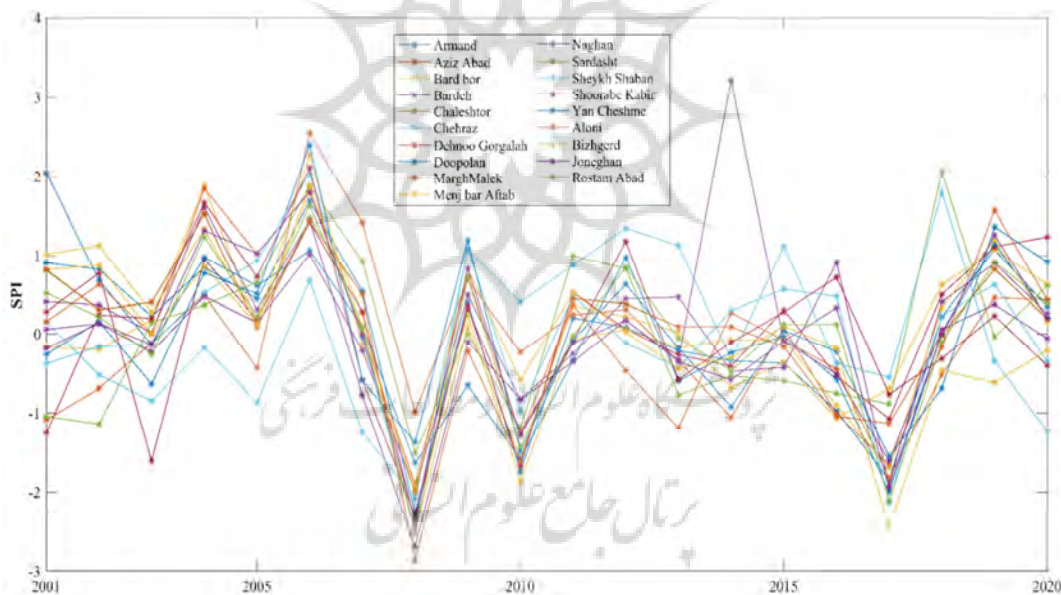
تراکم ایستگاه‌های مورد مطالعه نسبتاً پایین است. همچنین، استان چهارمحال بختیاری شدیداً کوهستانی است و مقادیر بارش با تغییر ارتفاع تغییر می‌کنند. بنابراین، تهیه نقشه پهنه‌بندی بارش با توجه به موارد یادشده برای این مطالعه مناسب به نظر نمی‌رسد. در این مرحله، با درنظرگرفتن نقشه‌های خروجی هر یک از شاخص‌های سنجش‌ازدوری در محیط ArcGis وارد کردن مختصات ایستگاه‌های هواشناسی، مقادیر شاخص‌های سنجش‌ازدوری در پیکسل قرار گرفته در موقعیت مکانی ایستگاه‌های باران‌سنگی استخراج شد. این فرایند برای تمام ماههای دوره آماری تکرار شد. بنابراین، مقادیر هر شاخص سنجش‌ازدوری برای موقعیت مکانی هر کدام از ایستگاه‌ها و برای هر یک از ماههای دوره آماری به دست آمد. در نهایت ۱۹ (تعداد ایستگاه‌های باران‌سنگی) سری زمانی با مقیاس یک ماهه (سال ۲۰۰۱ تا ۲۰۲۰ به مدت ۲۰ سال یا ۲۴۰ ماه) برای هر یک از شاخص‌ها به دست آمد. از هر کدام از سری‌های زمانی یک ماهه از طریق میانگین متحرک گیری، سری زمانی ۳ ماهه و نیز سری زمانی ۶ ماهه استخراج گردید. در مرحله آخر، تطابق هر یک از این سری زمانی‌های ۳ ماهه و ۶ ماهه در مکان هر ایستگاه با سری‌های ۳ و ۶ ماهه SPI ایستگاه مربوطه از طریق محاسبه ضریب تعیین بررسی شد.

نتایج و بحث

در این بخش، منتخب نتایج حاصل از کاربرد شاخص SPI و همچنین شاخص های سنجش از دوری VHI، TCI، VCI و PCI و شاخص ترکیبی CDI را در پایش خشکسالی استان چهارمحال و بختیاری در طی دوره آماری ۲۰۰۱ تا ۲۰۲۰ ارائه گردیده است.

نتایج شاخص SPI

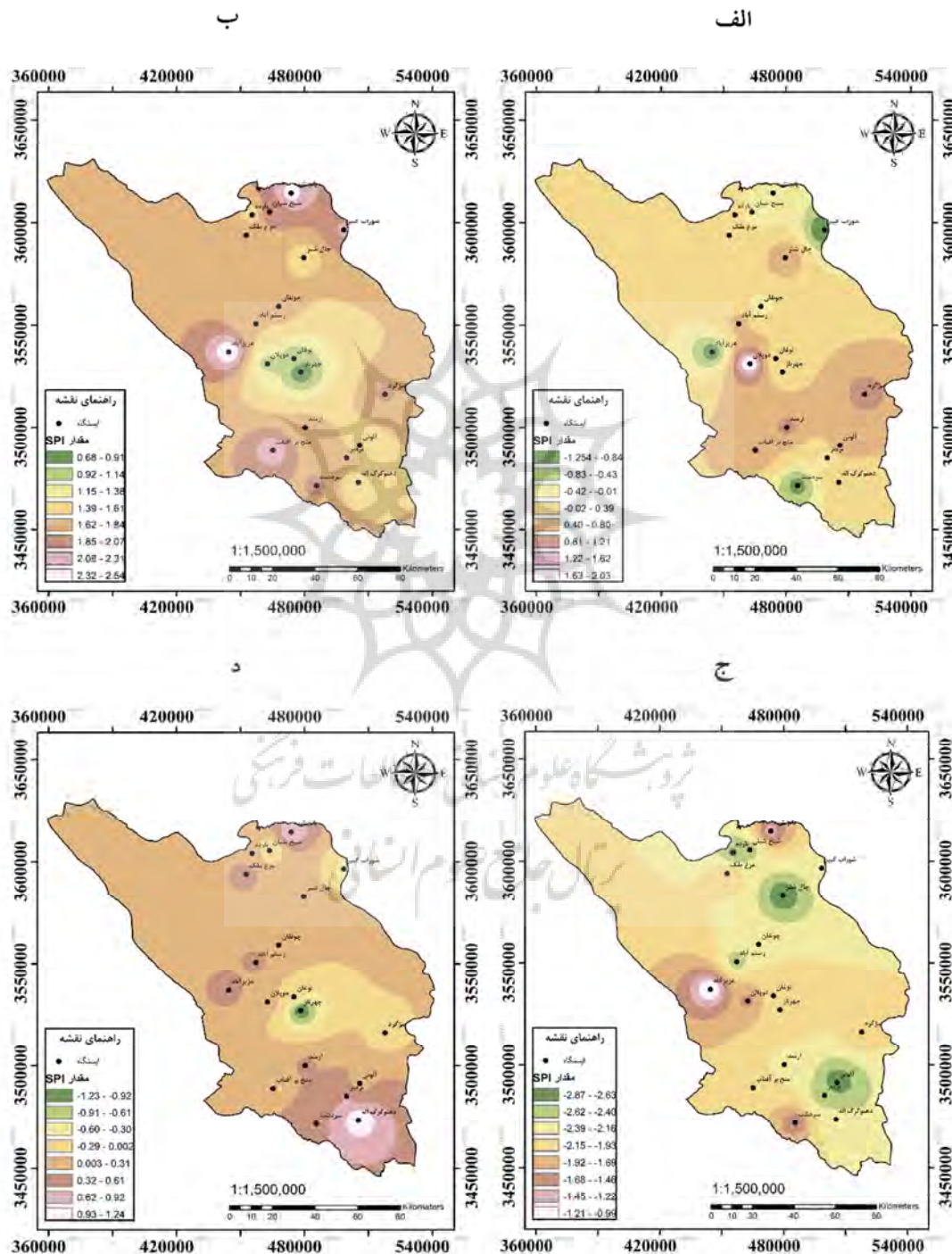
شاخص SPI با استفاده از داده های بارش برای ایستگاه های مورد مطالعه محاسبه شد. مقادیر شدت خشکسالی به دست آمده بر اساس شاخص SPI، برای ایستگاه های منتخب در مقیاس سالانه، در شکل ۲ ارائه شده است. همان گونه که شکل نشان می دهد، اگرچه مقادیر شدت خشکسالی در سال های مختلف در اکثر ایستگاه ها نسبتاً متفاوت است؛ اما روند کلی وقوع خشکسالی و ترسالی ها در بیشتر ایستگاه ها تا حدی مشابه است. برای مثال، در سال ۲۰۰۸ اکثر ایستگاه ها در جاتی از خشکسالی را تجربه کرده اند.



شکل ۲: مقادیر SPI سالانه برای ایستگاه های باران سنجی منتخب منطقه مورد مطالعه

پس از محاسبه شاخص خشکسالی SPI برای ایستگاه های مورد مطالعه، با کمک نرم افزار ArcGis اقدام به پهنه بندی خشکسالی در منطقه مورد مطالعه با استفاده از روش درون یابی IDW گردید. در روش IDW، برای هر یک از نقاط اندازه گیری وزنی بر اساس رابطه بین آن نقطه تا موقعیت نقطه مجھول در نظر می گیرد. سپس این اوزان توسط توان وزن دهی کنترل می شود. به طوری که توان های بزرگ تر اثر نقاط دورتر از نقطه مورد برآورد را کاهش می دهد و توان های کوچک تر وزن ها را به طور یکنواخت تری بین نقاط هم جوار توزیع می کنند (عظیمی و همکاران، ۱۳۹۶). در شکل ۳ نتایج حاصل از پهنه بندی خشکسالی برای چهار سال (۲۰۰۱، ۲۰۰۶، ۲۰۰۸ و ۲۰۲۰) آورده شده است. با

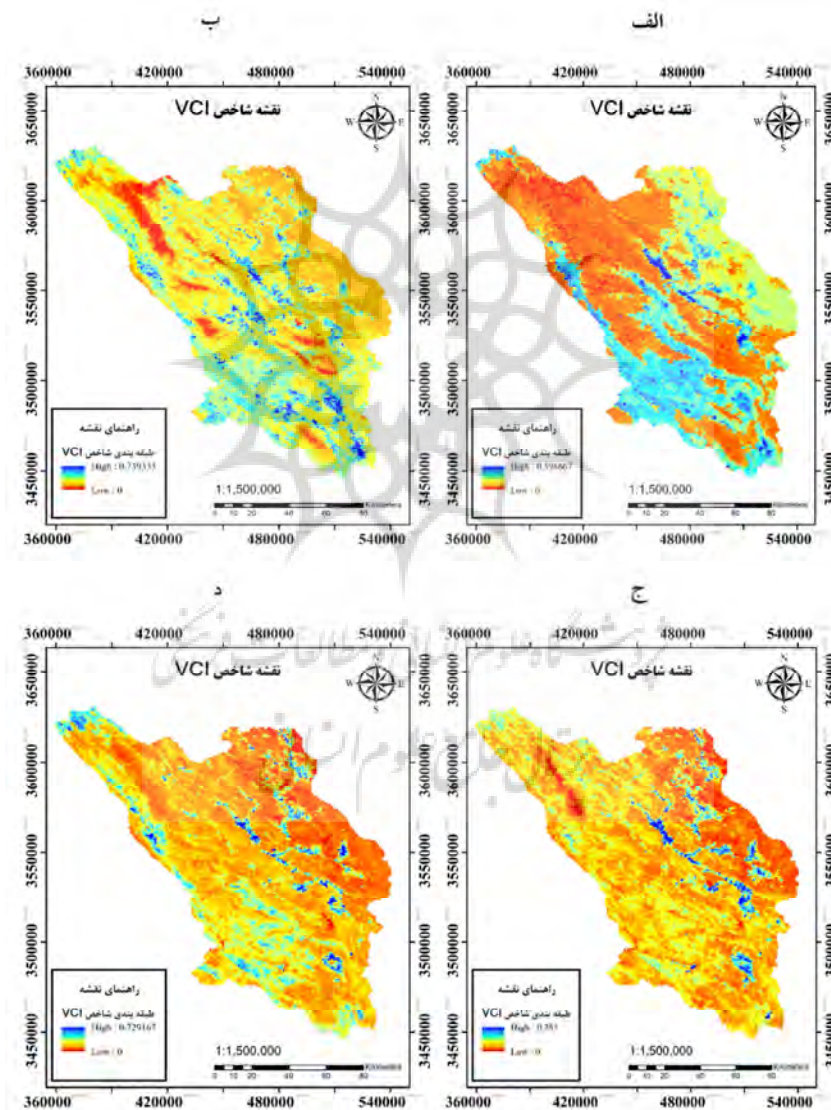
توجه به نتایج SPI، در طول دوره آماری مورد مطالعه، سال ۲۰۰۶ به عنوان مرطوب‌ترین و سال ۲۰۰۸ به عنوان خشک‌ترین سال تعیین شدند.



شکل ۳: نقشه پهنه‌بندی شاخص SPI برای الف: سال ۲۰۰۱، ب: سال ۲۰۰۶، ج: سال ۲۰۰۸ و د: سال ۲۰۲۰

نتایج شاخص VCI

همان‌گونه که اشاره گردید، این شاخص وضعیت پوشش گیاهی را بر حسب $NDVI_{max}$ و $NDVI_{min}$ در طول یک ماه محاسبه می‌کند که بر حسب درصد بیان می‌شود. مطالعات زیادی نشان می‌دهد که این شاخص نسبت به شاخص NDVI نتایج بهتری را برای ارزیابی میزان بارندگی، بهخصوص در مناطقی که از نظر جغرافیایی غیرهمگون هستند، نشان می‌دهد (تنکابیل و گاماز، ۲۰۰۴). شکل ۴ تغییرات شاخص VCI در ماه‌های مختلف از سال‌های متفاوت از دوره مورد مطالعه (۲۰۰۱-۲۰۲۰) را در منطقه مورد مطالعه ارائه می‌دهد.



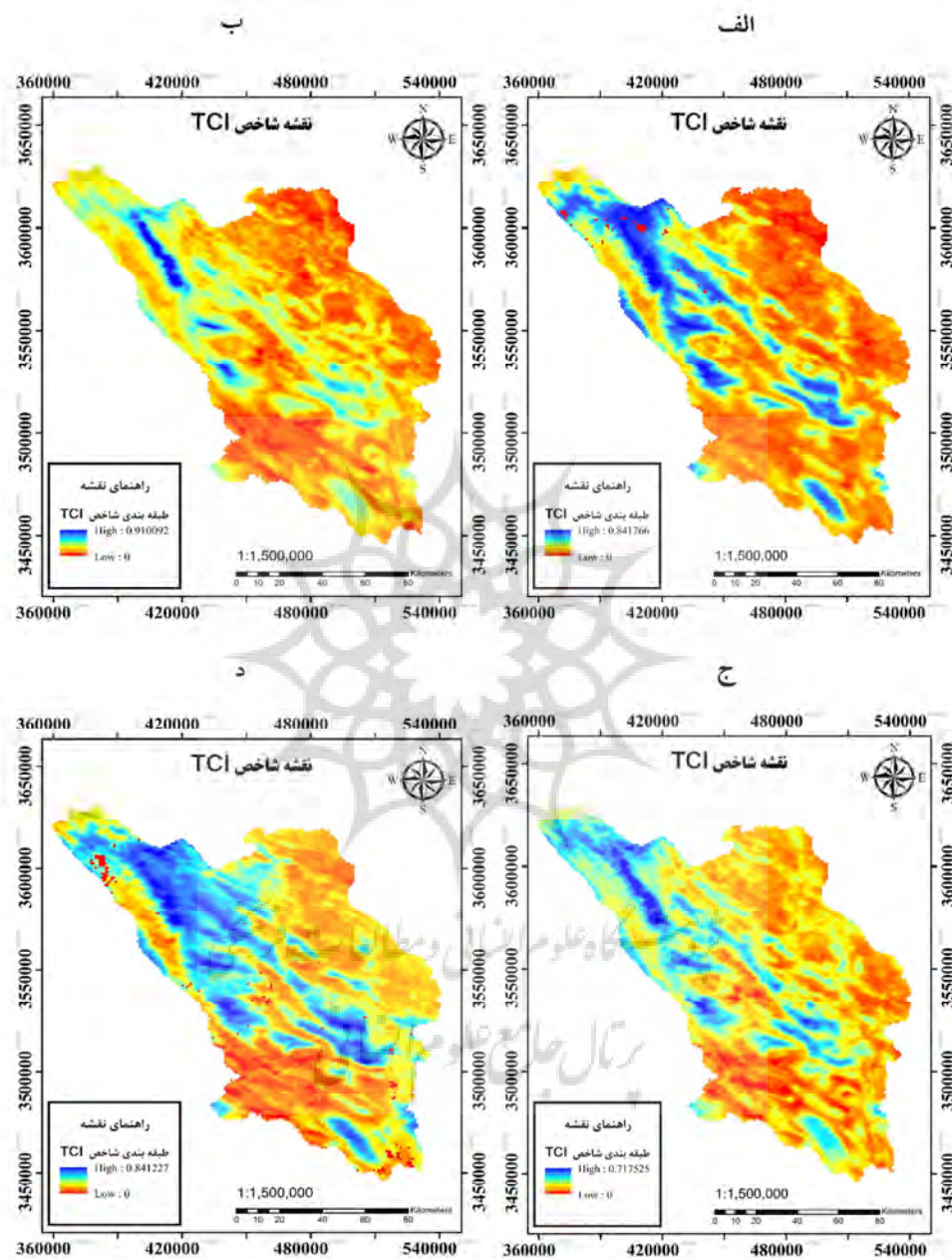
شکل ۴: نقشه شاخص VCI برای الف: زانویه ۲۰۰۱، ب: آوریل ۲۰۰۴، ج: زوئیه ۲۰۰۷ و د: اکتبر ۲۰۱۰

همان‌طورکه شکل ۴ نشان می‌دهد، وضعیت خشکسالی بر اساس شاخص VCI در ماههای ارائه‌شده دارای تغییراتی هست که این تغییرات با توجه به فصل رویش و توپوگرافی منطقه پدید می‌آیند. بررسی نقشه‌های ماهانه شاخص VCI برای دوره مطالعه نشان داد وضعیت پوشش گیاهی بر اساس این شاخص در مناطق مرتفع در ماههای ژانویه و فوریه به لحاظ فصل سرما وجود پوشش برف در مناطق کوهستانی و در نتیجه دیده نشدن پوشش گیاهی، ضعیف برآورد شده است. در ماههای مارس تا ژوئن با فرارسیدن فصل رویش گیاهان، در اغلب نقاط منطقه مورد نظر، شرایط پوششی مطلوب‌تری مشاهده می‌شود. با فرارسیدن فصل تابستان و کاهش بارندگی در ماههای ژوئیه تا سپتامبر، مساحت زیادی از حوضه با کاهش پوشش گیاهی مواجه می‌شود.

نتایج محاسبات شاخص TCI

شکل ۵ تغییرات شاخص TCI در ماههای مختلف از سال‌های متفاوت را در منطقه مورد مطالعه ارائه می‌دهد. همان‌گونه که بیان گردید، شاخص TCI بر مبنای دمای سطح زمین است. با توجه به نقشه توپوگرافی منطقه، در ماههای ژانویه و فوریه، بهدلیل پایین بودن دما، وضعیت خشکسالی بر اساس این شاخص نرمال است. در ادامه با فرارسیدن تابستان و گرم شدن هوا، وضعیت خشکسالی تغییر می‌کند. بر اساس نتایج در ماه اوت، مساحت زیادی از منطقه مطالعاتی در معرض خشکسالی می‌باشد که با نتایج SPI همخوانی دارد.

پژوهشگاه علوم انسانی و مطالعات فرهنگی
پرستال جامع علوم انسانی

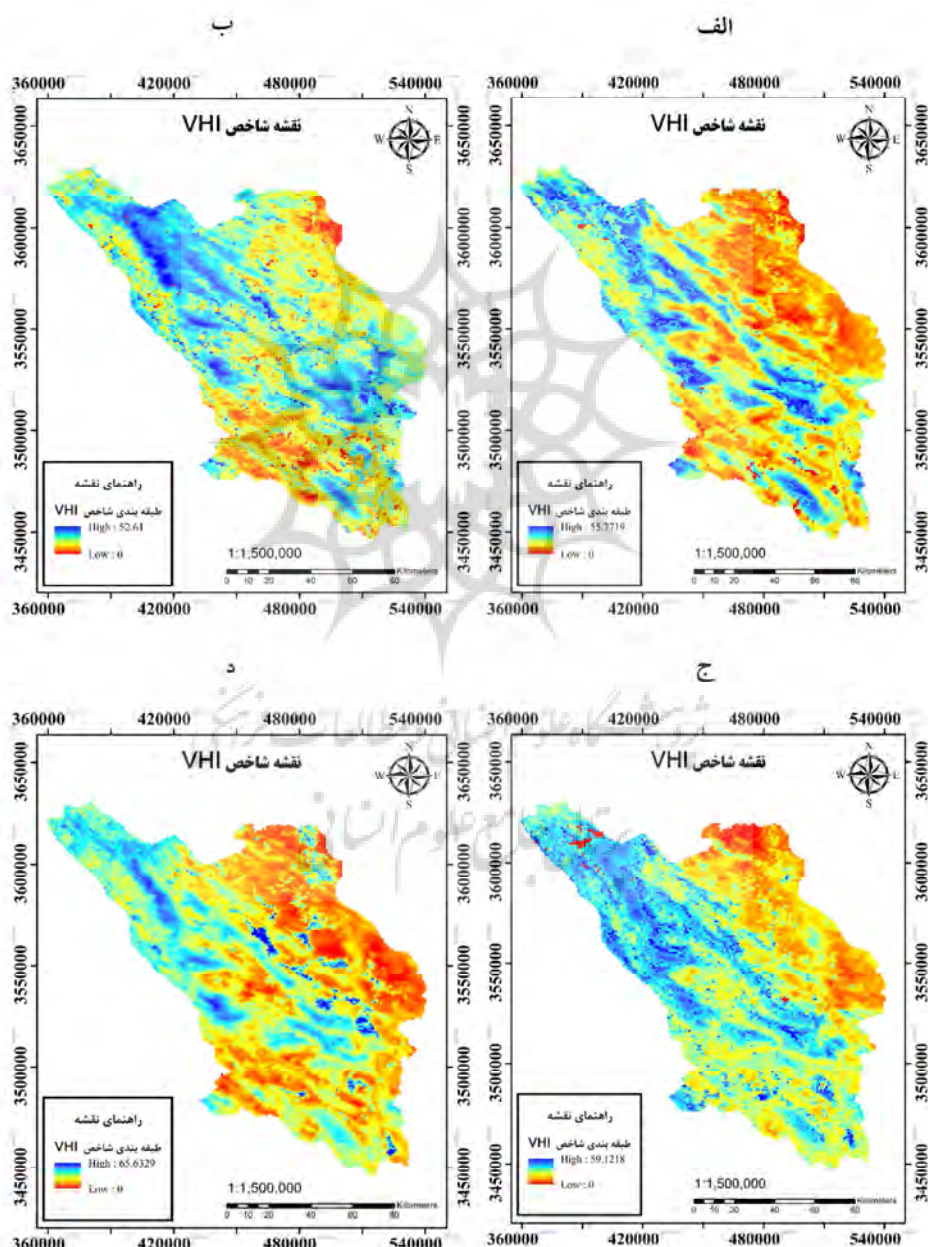


شکل ۵: نقشه شاخص TCI برای الف: مارس ۲۰۰۳، ب: زوئن ۲۰۰۶، ج: سپتامبر ۲۰۰۹ و د: دسامبر ۲۰۱۲

نتایج محاسبات شاخص VHI

شاخص VHI شاخصی است که از ترکیب شاخص‌های VCI و TCI برای نمایه تنش خشکسالی به کار می‌رود. به عبارت دیگر این شاخص اثرات ترکیبی پوشش گیاهی و درجه حرارت سطح زمین را در ارزیابی خشکسالی ارائه می‌دهد. شکل ۶ تغییرات شاخص VHI در ماه‌های مختلف از سال‌های مختلف متفاوت را در منطقه مطالعه ارائه می‌دهد.

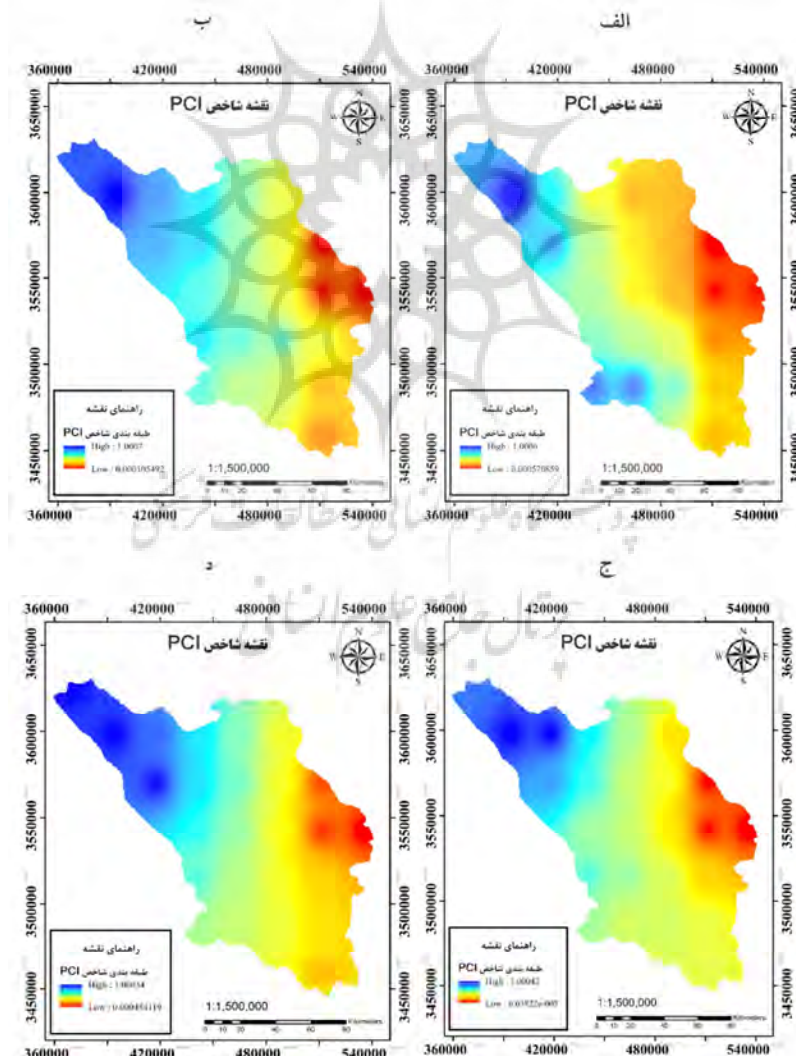
با مقایسه نتایج این شاخص با مقادیر شاخص SPI می‌توان مشاهده کرد که این شاخص در شناسایی رخدادهای خشکسالی، نتایج مطلوب‌تری را نسبت به دو شاخص TCI و VCI ارائه می‌دهد. بر اساس نقشه‌های شاخص VHI، هر چه از فصل‌های زمستان و بهار به فصل‌های تابستان و پاییز پیش می‌رویم، مناطق با وضعیت خشکسالی شدید، مساحت بیشتری را فرا می‌گیرد. در ماه‌های آبریل و می برای مساحت زیادی از حوزه، خشکسالی متوسط و یا بدون خشکسالی قابل مشاهده است.



شکل ۶: نقشه شاخص VHI برای الف: نوامبر ۲۰۱۱، ب: فوریه ۲۰۱۴، ج: مه ۲۰۱۷ و د: آگوست ۲۰۲۰

نتایج محاسبات شاخص PCI

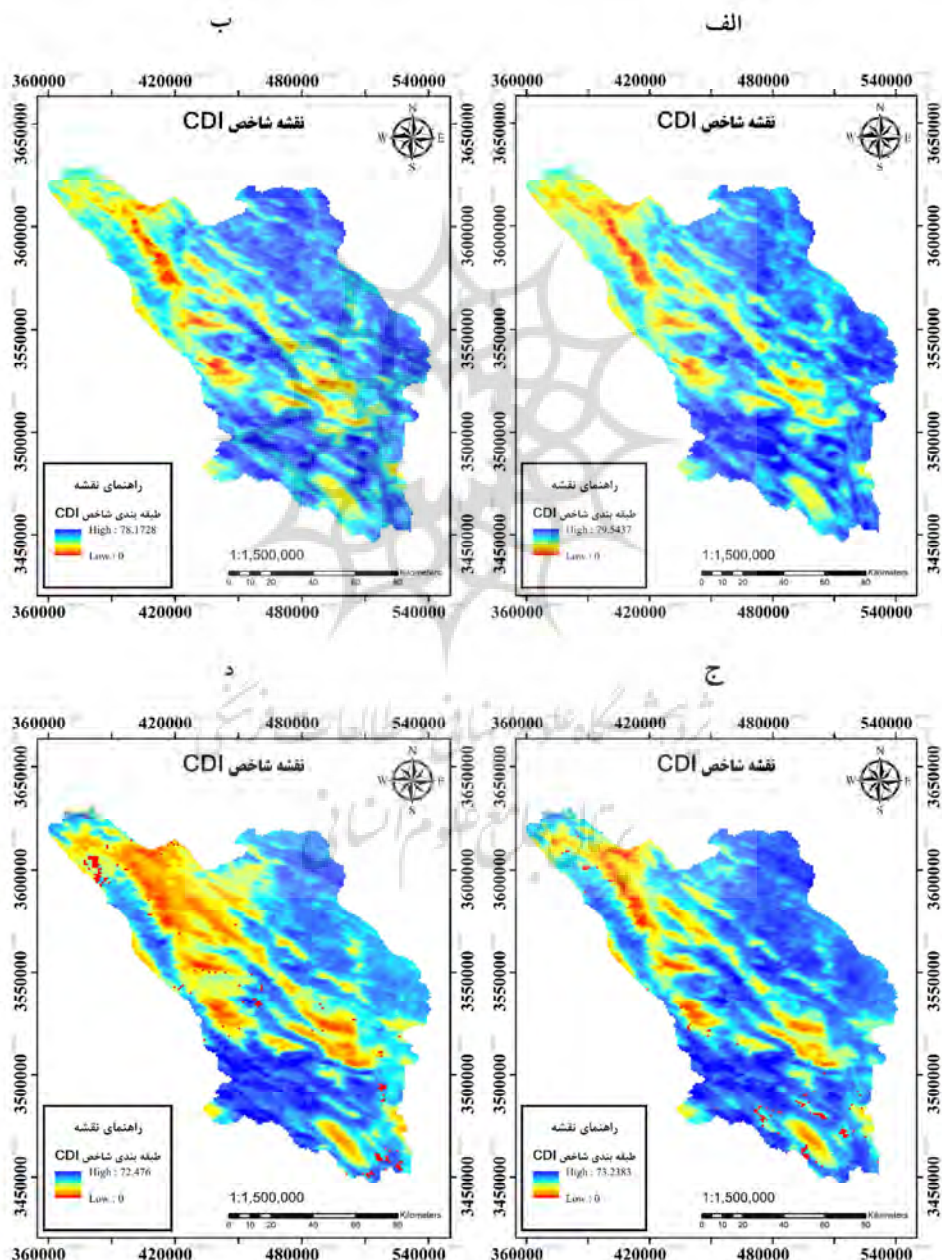
همان طور که اشاره شد، داده های بارش TRMM مستقیماً با شاخص های VCI و TCI امکان تجزیه و تحلیل ندارند؛ بنابراین از شاخص PCI استفاده می کنیم. شکل ۷ تغییرات شاخص PCI در ماه های مختلف از سال های مختلف را در منطقه مورد مطالعه ارائه می دهد. با توجه به اینکه شاخص PCI براساس داده های بارش TRMM است، پیش بینی می گردد نسبت به سایر شاخص های مطرح شده، عملکرد بهتری در تشخیص کمبود بارندگی و وقوع خشکسالی را ارائه دهد. نقشه های شاخص PCI برای دوره مورد مطالعه نشان می دهد در ماه های می و اکتبر که مصادف با بارش های بهاری و پاییزی می باشد، شرایط بارندگی مطلوب و در اکثر منطقه مورد مطالعه بارندگی اتفاق افتاده است. در فصل تابستان، در ماه های زوئن، جولای و آگوست، در برخی از مناطق بارندگی اتفاق افتاده است. به همین دلیل نقشه شاخص PCI برای این ماه ها، شرایط بارندگی نامطلوب و خشکسالی با درجه بالاتر را نشان می دهد.



شکل ۷: نقشه شاخص PCI برای-الف: زانویه ۲۰۱۳، ب: فوریه ۲۰۱۴، ج: مارس ۲۰۱۵ و د: آوریل ۲۰۱۶

نتایج محاسبات شاخص ترکیبی سنجش از دوری CDI

شاخص ترکیبی CDI از داده‌های NDVI، بارش و دمای هوا استفاده می‌کند. بنابراین شاخص CDI بر اساس ترکیبی از سه مجموعه داده است. بنابراین خشکسالی منطقه را بر اساس تاثیر ترکیبی سه شاخص PCI، VCI و TCI نشان می‌دهد و در نتیجه نتایج آن با شاخص SPI همواره بیشتری نسبت به شاخص‌های منفرد دارد. شکل ۸ تغییرات شاخص CDI در ماه‌های مختلف از سال‌های متفاوت را در منطقه مورد مطالعه ارائه می‌دهد.



شکل ۸: نقشه شاخص CDI برای -الف: سپتامبر ۲۰۰۹، ب: اکتبر ۲۰۱۰، ج: نوامبر ۲۰۱۱ و د: دسامبر ۲۰۱۲.

مقایسه مقادیر SPI و شاخص‌های سنجش از دوری

در این مطالعه ضریب تعیین بین داده‌های SPI و شاخص‌های سنجش از دوری در مقیاس‌های زمانی ۳ و ۶ ماهه محاسبه گردید. با توجه به احتمال تاخیر در پاسخ پوشش گیاهی به تغییرات خشکسالی، نتایج همبستگی بین SPI و شاخص‌های سنجش از دوری با تاخیر زمانی ۰ تا ۸ ماه محاسبه و مورد بررسی قرار گرفت. در ادامه نتایج بررسی ضریب تعیین بین شاخص SPI و شاخص‌های سنجش از دوری ارائه شده است. برای هر شاخص، تاخیر زمانی که بالاترین مقدار ضریب تعیین را ارائه نمود، در محاسبات به عنوان ضریب تعیین شاخص مربوطه در نظر گرفته شد.

مقایسه SPI و VCI

مقادیر ضریب تعیین بین دو شاخص SPI و VCI با درنظر گرفتن زمان تاخیر چهار ماه برای ایستگاه‌های مورد مطالعه در جدول ۸ ارائه شده است. نتایج نشان داد که ضرایب تعیین بین دو شاخص SPI و VCI در مقیاس ششم‌ماهه نسبت به مقیاس سه‌ماهه در اکثر ایستگاه‌ها بیشتر است. البته با توجه به کاهش نوسانات در مقیاس ششم‌ماهه نسبت به مقیاس سه‌ماهه، بالاتر بودن ضریب تعیین برای داده‌های ششم‌ماهه قابل پیش‌بینی می‌باشد. نتایج نشان داد میزان تطابق در زمان تاخیر چهار ماه نسبت به سایر تاخیرهای زمانی، بالاتر می‌باشد. همچنین، نتایج بیانگر این است که شاخص SPI و VCI با یکدیگر تشابه زیادی ندارند. در زیر نتایج دو دوره بررسی که دارای ضرایب تعیین بالاتری بودند، به نمایش گذاشته شده است.

جدول ۸: ضریب تعیین بین مقادیر SPI و VCI در مقیاس زمانی ۳ و ۶ ماهه با تاخیر زمانی ۴ ماه

ردیف	نام ایستگاه	سه ماهه	شش ماهه
۱	ارمند	۰,۴۸۲۸	۰,۵۴۹۰
۲	عزیز آباد	۰,۴۲۴۶	۰,۵۳۷۲
۳	بردب	۰,۴۴۴۵	۰,۴۵۲۷
۴	بارده	۰,۰۸۰۰	۰,۱۴۳۰
۵	چالشتر	۰,۱۹۴۷	۰,۱۸۸۹
۶	چهره‌ز	۰,۲۰۳۱	۰,۲۶۰۳
۷	دهنو گرگ اله	۰,۴۴۶۲	۰,۴۸۹۸
۸	دوپلان	۰,۱۹۵۴	۰,۱۹۰۷
۹	مرغملک	۰,۱۰۲۹	۰,۱۴۲۴
۱۰	منج بر آفتاب	۰,۱۸۵۵	۰,۱۵۶۵
۱۱	ناغان	۰,۲۳۸۰	۰,۳۱۹۵
۱۲	سردشت	۰,۳۰۲۶	۰,۳۳۰۶
۱۳	شیخ شبان	۰,۱۵۸۱	۰,۲۰۳۷
۱۴	شوراب کبیر	۰,۱۳۱۰	۰,۱۳۷۵
۱۵	یان چشمہ	۰,۰۵۷۰	۰,۰۹۱۷
۱۶	آلونی	۰,۲۳۰۹	۰,۲۳۸۰
۱۷	بیژنگرد	۰,۲۳۴۲	۰,۲۸۲۸
۱۸	جونقان	۰,۲۴۴۹	۰,۲۵۸۵
۱۹	رسنم آباد میانگین	۰,۵۱۶۲	۰,۶۵۷۲
		۰,۲۵۶	۰,۲۹۶

مقایسه و TCI SPI

جدول ۹ مقادیر ضریب تعیین بین دو شاخص SPI و TCI با درنظرگرفتن زمان تاخیر یک ماه را برای ایستگاه‌های مورد مطالعه ارائه می‌کند. نتایج نشان می‌دهد تطابق بین SPI و TCI در اکثر ایستگاه‌ها نسبت به میزان تطابق موجود بین مقادیر SPI و VCI بیشتر است. بر اساس نتایج، به‌طور میانگین ضریب تعیین بین مقادیر SPI و TCI در محل ایستگاه‌های باران‌سنجی نزدیک به ۰,۵۰ می‌باشد.

جدول ۹: ضریب تعیین بین داده‌های SPI و TCI در مقیاس زمانی ۳ و ۶ ماهه با تاخیر زمانی ۱ ماه

ردیف	نام ایستگاه	سه ماهه	شش ماهه
۱	ارمند	۰,۶۹۱۷	۰,۷۴۷۵
۲	عزیز آباد	۰,۶۳۷۱	۰,۶۵۹۰
۳	بردب	۰,۷۱۴۸	۰,۷۴۱۹
۴	بارده	۰,۴۲۵۹	۰,۳۹۸۷
۵	چالشتر	۰,۴۰۳۳	۰,۳۶۸۹
۶	چهره‌ز	۰,۵۷۸۲	۰,۴۹۳۹
۷	دهنو گرگ الله	۰,۶۹۳۴	۰,۶۹۳۸
۸	دوپلان	۰,۵۴۵۳	۰,۵۳۸۵
۹	مرغملک	۰,۶۳۸۴	۰,۶۷۵۶
۱۰	منج بر آفتاب	۰,۵۵۴۳	۰,۵۷۴۴
۱۱	ناغان	۰,۴۸۲۹	۰,۴۹۳۲
۱۲	سردشت	۰,۷۱۸۷	۰,۷۳۹۵
۱۳	شیخ شیان	۰,۴۷۴۷	۰,۴۷۹۴
۱۴	شوراب کبیر	۰,۴۵۱۶	۰,۴۱۵۸
۱۵	یان چشمہ	۰,۴۱۱۱	۰,۳۹۱۸
۱۶	الونی	۰,۰۰۷۹	۰,۰۰۱۷۱
۱۷	بیژگرد	۰,۲۲۹۵	۰,۲۳۴۱
۱۸	جونقان	۰,۱۸۴۸	۰,۱۸۶۶
۱۹	رسنم آباد	۰,۵۹۰۸	۰,۶۰۵۰
	میانگین	۰,۴۹۶	۰,۴۹۸

مقایسه و VHI SPI

جدول ۱۰ نتایج ضریب تعیین بین SPI و VHI مربوط به تاخیرهای زمانی ۲ ماه که دارای ضرایب تعیین بالاتری نسبت به سایر تاخیرهای زمانی بود را به نمایش گذاشته است. همان‌گونه که جدول نشان می‌دهد میزان تطابق نسبت به SPI و TCI به‌خصوص برای مقیاس زمانی سه ماهه به‌طور قابل توجهی کاهش یافته است.

جدول ۱۰: ضریب تعیین بین داده‌های SPI و VHI در مقیاس زمانی ۳ و ۶ ماهه با تاخیر زمانی ۲ ماه

ردیف	نام ایستگاه	سه ماهه	شش ماهه
۱	ارمند	۰,۵۵۸۴	۰,۶۵۸۶
۲	عزیز آباد	۰,۶۰۴۲	۰,۶۶۷۹
۳	بردبر	۰,۵۶۰۱	۰,۶۵۳۸
۴	بارده	۰,۲۱۰۸	۰,۲۲۶۳
۵	چالشتر	۰,۱۸۱۹	۰,۱۷۳۳
۶	چهراز	۰,۴۹۴۰	۰,۵۱۳۳
۷	دهنو گرگ الله	۰,۶۰۳۹	۰,۶۶۵۳
۸	دویلان	۰,۳۴۸۹	۰,۴۱۲۵
۹	مرغملک	۰,۴۹۲۴	۰,۵۵۸۱
۱۰	منج بر آفتاب	۰,۳۷۱۱	۰,۳۹۶۶
۱۱	ناغان	۰,۲۹۷۵	۰,۳۵۷۷
۱۲	سردشت	۰,۴۸۱۲	۰,۵۴۷۲
۱۳	شیخ شبان	۰,۲۶۸۸	۰,۲۹۷۴
۱۴	شوراب کبیر	۰,۱۰۰۰	۰,۱۹۸۵
۱۵	یان چشمہ	۰,۱۳۲۳	۰,۱۵۴۷
۱۶	آلونی	۰,۰۶۳۶	۰,۰۷۹۴
۱۷	بیشه گرد	۰,۲۵۰۱	۰,۲۵۸۳
۱۸	جوشقان	۰,۲۵۸۰	۰,۲۷۳۹
۱۹	رسنم آباد	۰,۶۰۶۴	۰,۷۱۸۲
	میانگین	۰,۳۶۷	۰,۴۱۱

مقایسه SPI و PCI

نتایج ضریب تعیین بین SPI و PCI مربوط به تاخیرهای زمانی ۰ (بدون تاخیر زمانی) که دارای ضرایب تعیین بالاتری نسبت به سایر تاخیرهای زمانی بود، در جدول ۱۱ نشان داده شده است. همان‌گونه‌که نتایج نشان می‌دهد ضریب تعیین بین مقادیر SPI و PCI نسبتاً پایین می‌باشد. نکته قابل توجه اینکه برخلاف سایر شاخص‌های سنجش-ازدوری مورد مطالعه، مقدار R^2 مربوط به مقیاس زمانی سه ماه از شش ماهه بیشتر می‌باشد.

جدول ۱۱: ضریب تعیین بین داده‌های SPI و PCI در مقیاس زمانی ۳ و ۶ ماهه بدون تاخیر زمانی

ردیف	نام ایستگاه	سه ماهه	شش ماهه
۱	ارمند	۰,۵۶۳۷	۰,۵۱۱۲
۲	عزیز آباد	۰,۴۹۲۲	۰,۴۴۴۹
۳	بردبر	۰,۵۳۳۷	۰,۴۹۷۱
۴	بارده	۰,۰۰۶۹	۰,۰۰۱
۵	چالشتر	۰,۰۲۸۵	۰,۰۰۲۹۶
۶	چهراز	۰,۵۰۰۴	۰,۴۶۳۸
۷	دهنو گرگ الله	۰,۴۴۱۷	۰,۴۱۳۶
۸	دوپلان	۰,۵۱۱۸	۰,۵۱۵۷
۹	مرغملک	۰,۱۰۷۸	۰,۱۰۵۱
۱۰	منج بر آفتاب	۰,۵۱۸۳	۰,۴۷۵۸
۱۱	ناغان	۰,۴۴۲۲	۰,۴۲۳۶
۱۲	سردشت	۰,۶۰۵۳	۰,۵۶۱۰
۱۳	شیخ شبان	۰,۰۴۲۹	۰,۰۵۰۰
۱۴	شوراب کبیر	۰,۰۰۰۰	۰,۰۰۱۱
۱۵	یان چشمہ	۰,۰۰۳۹	۰,۰۰۱۲
۱۶	آلونی	۰,۴۰۴۹	۰,۳۷۱۷

۰,۲۰۰۶	۰,۲۳۵۷	بیزگرد	۱۷
۰,۲۶۱۶	۰,۲۶۹۸	جونقان	۱۸
۰,۴۰۸۱	۰,۴۰۹۱	رسنم آباد	۱۹
۰,۳۰۲	۰,۳۲۲	میانگین	

ارتباط بین SPI و شاخص ترکیبی سنجش ازدوری CDI

جداول ۱۲ و ۱۳ مقادیر R^2 بین SPI و CDI مربوط به تاخیرهای زمانی (بدون تاخیر زمانی) و ۶ ماه را که دارای ضرایب تعیین بالاتری نسبت به سایر تاخیرهای زمانی بودند، بهترتبی به نمایش گذاشته‌اند. همان‌گونه که جداول نشان می‌دهد، مقادیر R^2 مربوط به داده‌های شاخص ترکیبی سنجش ازدوری CDI بدون درنظر گرفتن تاخیر زمانی به صورت قابل توجهی بالاتر از مقادیر ضریب تعیین مربوط به CDI با تاخیر زمانی ۶ ماهه می‌باشد. در مجموع می‌توان نتیجه گرفت شاخص CDI کارآیی نسبتاً مناسبی را جهت پایش خشکسالی در منطقه مورد مطالعه ارائه می‌دهد. عربی و محمدی (۱۴۰۰) نیز در مطالعه‌ای به ارزیابی عملکرد شاخص‌های PCI، TCI، VCI و شاخص ترکیبی SDCI در کشور ایران پرداختند. نتایج نشان داد همبستگی شاخص ترکیبی مورد مطالعه با شاخص SPEI از سایر شاخص‌های سنجش ازدوری بالاتر بود.

جدول ۱۲: ضریب تعیین بین داده‌های SPI و CDI در مقیاس زمانی ۳ و ۶ ماهه بدون تاخیر زمانی

ردیف	نام ایستگاه	سه ماهه	شش ماهه
۱	ارمند	۰,۷۵۸۷	۰,۷۴۴۴
۲	عزیز آباد	۰,۷۳۹۲	۰,۷۵۳۴
۳	بردبز	۰,۸۳۶۰	۰,۸۳۷۴
۴	بارده	۰,۵۷۰۲	۰,۵۶۳۰
۵	چالشتر	۰,۸۰۳۳	۰,۷۸۹۶
۶	چهراز	۰,۷۰۵۷	۰,۷۰۲۷
۷	دهنو گرگ اله	۰,۸۰۳۵	۰,۷۹۷۵
۸	دوپلان	۰,۷۸۴۱	۰,۷۷۹۶
۹	مرغملک	۰,۷۴۱۹	۰,۷۷۳۹
۱۰	منج بر آفتان	۰,۶۸۷۵	۰,۶۵۹۸
۱۱	ناغان	۰,۶۹۹۱	۰,۶۹۰۶
۱۲	سردشت	۰,۸۳۲۹	۰,۸۴۶۵
۱۳	شیخ شبان	۰,۶۵۴۴	۰,۶۶۰۴
۱۴	شوراب کبیر	۰,۵۹۹۴	۰,۶۱۳۲
۱۵	یان چشمہ	۰,۶۵۲۸	۰,۶۵۳۳
۱۶	آلونی	۰,۸۱۴۰	۰,۸۰۱۶
۱۷	بیزگرد	۰,۶۲۲۸	۰,۶۴۸۰
۱۸	جونقان	۰,۷۴۶۵	۰,۷۶۰۷
۱۹	رسنم آباد	۰,۸۲۰۸	۰,۸۱۸۳
	میانگین	۰,۷۳۰	۰,۷۳۱

جدول ۱۳: ضریب تعیین بین داده‌های SPI و CDI در مقیاس زمانی ۳ و ۶ ماهه با تاخیر زمانی ۶ ماه

ردیف	نام ایستگاه	سه ماهه	شش ماهه
۱	ارمند	۰,۶۵۹۹	۰,۶۵۲۹
۲	عزیز آباد	۰,۶۵۹۹	۰,۶۷۰۳
۳	بردبیر	۰,۰۷۲۵۳	۰,۷۵۱۷
۴	بارده	۰,۵۱۸۹	۰,۵۰۵۴
۵	چالشتر	۰,۷۱۵۲	۰,۷۰۴۱
۶	چهراز	۰,۶۲۹۲	۰,۶۲۰۵
۷	دهنو گرگ اله	۰,۷۱۶۵	۰,۷۱۳۱
۸	دوپلان	۰,۶۶۵۳	۰,۶۸۰۱
۹	مرغملک	۰,۶۵۷۶	۰,۶۳۲۳
۱۰	منج بر آفتاب	۰,۶۰۳۳	۰,۵۸۶۵
۱۱	ناغان	۰,۶۱۸۶	۰,۶۱۲۹
۱۲	سردشت	۰,۷۱۴۹	۰,۷۴۳۴
۱۳	شیخ شبان	۰,۵۷۰۵	۰,۵۵۴۸
۱۴	شوراب کبیر	۰,۵۳۶۵	۰,۵۴۷۷
۱۵	یان چشمہ	۰,۵۷۸۲	۰,۵۷۶۲
۱۶	آلونی	۰,۶۵۱۸	۰,۶۴۳۲
۱۷	بیژنگرد	۰,۵۵۲۵	۰,۵۰۸۹
۱۸	جونقان	۰,۶۳۷۱	۰,۶۲۴۵
۱۹	رسنم آباد	۰,۶۸۸۹	۰,۶۹۳۵
	میانگین	۰,۶۳۷	۰,۶۳۳

نتیجه‌گیری

در این مطالعه عملکرد شاخص ترکیبی سنجش از دور CDI با کارآیی شاخص‌های سنجش از دوری VHI، TCI، VCI و PCI در پایش خشکسالی در استان چهارمحال و بختیاری مقایسه گردید. شاخص‌های VCI و TCI از محصولات NDVI و LST از ماهواره MODIS و PCI توسط یک محصول از TRMM محاسبه شدند. شاخص ترکیبی CDI کمبود بارش، تنش حرارتی خاک و وضعیت رشد پوشش گیاهی را از طریق تلفیق شاخص‌های PCI، TCI و VCI را در شناسایی رخدادهای خشکسالی در نظر می‌گیرد. جهت ارزیابی عملکرد شاخص‌های VCI، TCI و VHI و PCI از طریق محاسبه ضریب تعیین مقایسه شدند. برای کاهش نوسانات موقتی در مقدار شاخص‌ها و در نتیجه ۲۰۰۱ از طریق محاسبه ضریب تعیین مقایسه شدند. با توجه به احتمال تاخیر در پاسخ پوشش گیاهی به خشکسالی، زمان تاخیر (بدون تاخیر زمانی) تا ۸ ماه نیز در محاسبات در نظر گرفته شد و مقدار R^2 برای هر کدام از زمان تاخیرهای درنظر گرفته شده به صورت جداگانه محاسبه شد.

نتایج نشان داد عملکرد شاخص ترکیبی CDI به طور قابل توجهی بالاتر از سایر شاخص‌های مورد مطالعه می‌باشد. بر اساس نتایج، بالاترین ضریب تعیین برای شاخص‌های VCI و PCI و VHI به طور میانگین به ترتیب برابر 0.32 ، 0.30 و 0.41 می‌باشد. این مقدار برای شاخص TCI برابر 0.50 است. در حالی که شاخص CDI، R^2 میانگین 0.83 را نشان داد. بنابراین، در شرایطی که امکان محاسبه این شاخص جهت پایش خشکسالی وجود دارد، استفاده از آن نسبت به شاخص‌های سنجش‌ازدوری اشاره شده، اولویت دارد. از بین شاخص‌های سنجش‌ازدوری VCI، TCI، PCI و VHI، شاخص TCI عملکرد بهتری را ارائه داد. به طور کلی، می‌توان نتیجه گرفت که شاخص ترکیبی CDI، جایگزین نسبتاً مناسبی برای شاخص‌های اقلیمی جهت ارزیابی خشکسالی، بهخصوص در حوزه‌هایی که با کمبود داده مواجه هستند، می‌باشد. بر اساس نتایج بدست‌آمده از این پژوهش، پیشنهاد می‌گردد عملکرد شاخص CDI با سایر شاخص‌های ترکیبی سنجش‌ازدوری نیز مقایسه گردد.

منابع

- ارجمندی، زهره؛ اسدی زارچ، محمد امین؛ حسینی، سید زین‌العابدین؛ اختصاصی، محمدرضا. (۱۴۰۱). پیش‌بینی خشکسالی در مناطق خشک با استفاده از مدل‌های جهانی اقلیم (مطالعه موردی: استان یزد)، مهندسی اکوسیستم بیابان، ۱۰(۳۲)، ۹۷-۱۱۲.
- خادی، مهسا؛ شاد، روزبه؛ مقصودی، یاسر. (۱۳۹۴). معرفی شاخص‌های ماهواره‌ای خشکسالی و ارزیابی عملکرد آنها، همایش ملی مهندسی عمران و پژوهش‌های نیاز محور، مشهد. <https://civilica.com/doc/461245>
- خلیلی فرد، رامین؛ کرکه آبادی، زینب. (۱۳۹۷). بررسی اقلیم، زمین‌شناسی، شیب و عوامل محیطی در شهر شهرکرد و اطراف آن با توجه به نقشه‌های جغرافیایی، کنفرانس بین‌المللی امنیت، پیشرفت و توسعه پایدار مناطق مرزی، سرزمینی و کلان‌شهرها، راه‌کارها و چالش‌ها با محوریت پدافند غیر عامل و مدیریت بحران، تهران، ۹۰۸. <https://civilica.com/doc/876098>
- دماؤندی، علی‌اکبر؛ رحیمی، محمد؛ یزدانی، محمدرضا؛ نوروزی، علی‌اکبر. (۱۳۹۵). پایش مکانی خشکسالی کشاورزی از طریق سری‌های زمانی شاخص‌های NDVI و LST داده‌های MODIS (مطالعه موردی: استان مرکزی)، اطلاعات جغرافیایی، ۲۵(۹۹)، ۱۱۵-۱۲۶.
- زارع بیدکی، رفعت؛ یزدان دوست، امید؛ رحیمیان، محمدحسن؛ قرهی، نسرین. (۱۴۰۱). تلفیق اطلاعات اقلیمی و سنجش‌ازدor در شاخص تلفیقی خشکسالی، به منظور پنهان‌بندی خشکسالی در دشت یزد - اردکان، مدیریت اکوسیستم‌های طبیعی، ۲(۱)، ۳۶-۴۸. doi: 0.22034/emj.2022.252719
- شفیعی، بهمن؛ برقی، حمید؛ قنبری، یوسف. (۱۳۹۸). بررسی اثرات خشکسالی بر وضعیت اقتصادی، اجتماعی و محیطی نواحی روستایی از دید سرپرست خانوار (مطالعه موردی دهستان حسن آباد در شهرستان اسلام آباد غرب)، تحقیقات کاربردی علوم جغرافیایی (علوم جغرافیایی)، ۱۹(۵۵)، ۱۷۳-۱۹۱.
- شهربازی، خسرو؛ حشمتی، مسیب؛ سعیدی فر، زهرا. (۱۳۹۹). بررسی تاثیر تغییر اقلیم بر خشکسالی و خطر بیابان‌زایی در استان کرمانشاه، مدیریت بیابان، ۸(۱۶)، ۱۸۳-۱۰۰. doi: ۲۰۲۱۳۶۰۲۰۲۱JDMAL/۲۰۰۴۰۱۰۲۴۳۱۳۶
- طباطبایی زاده، منیرالسادات؛ هادیان، فاطمه؛ حسینی، سید زین‌العابدین؛ بخورداری، جلال؛ خسروی، حسن. (۱۳۹۳). بررسی سازگاری گیاهان مناطق بیابانی نسبت به تغییرات بارندگی با استفاده از شاخص گیاهی NDVI (مطالعه موردی: دشت اردکان-عقدا)، اکوسیستم‌های طبیعی ایران، ۱۵(۱)، ۲۳-۳۶.
- عربی، زهرا؛ محمدی، شاهین. (۱۴۰۰). پایش مکانی‌الگوی خشکسالی با استفاده از محصولات ماهواره‌ای در کشور ایران در طول دوره ۲۰۰۰ تا ۲۰۱۸، مخاطرات محیط طبیعی، ۱۰(۱۱۱)، ۱۰-۲۰۱۸. doi: ۱۶۷۹/jneh.۲۲۱۱۱، ۰۵-۲۰۲۱۳۴۷۸۵

عظیمی، سجاد؛ خوش روش، مجتبی؛ قلعه نوبی، محمدامین؛ پیروزی نژاد، سجاد. (۱۳۹۶). ارزیابی شاخص SPI جهت پهنه‌بندی شدت خشکسالی با مقایسه سه روش درون‌یابی Ordinary Kriging و IDW (مطالعه موردي: استان خراسان رضوی)، دومین کنفرانس ملی هیدرولوژی ایران، شهرکرد، ۱۴-۱۵ آذر ۱۴۰۰. <https://civilica.com/doc/6614111>

کاظمپور چورسی، سیما؛ عرفانیان، مهدی؛ عبادی نهاری، زهرا. (۱۳۹۸). ارزیابی داده‌های ماهواره‌ای MODIS و TRMM در پایش خشکسالی حوضه آبریز دریاچه ارومیه، جغرافیا و برنامه‌ریزی محیطی (مجله پژوهشنی علوم انسانی دانشگاه اصفهان)، ۲۰(۲۰)، ۷۴-۳۳-۱۷. <https://doi.org/10.22108/cep.1115381.1115>

کرمی، عزت‌الله. (۱۳۹۵). تغییر اقلیم، خشکسالی و تنگستی در ایران: نگاهی به آینده، پژوهش‌های راهبردی در علوم کشاورزی و منابع طبیعی، ۱(۱)، ۶۳-۸۰. <https://doi.org/10.22047/srjasnr.10.22108>

محیط اصفهانی، پوریا؛ سلطانی کوپایی، سعید؛ مدرس، رضا؛ پورمنافی، سعید. (۱۳۹۹). ارزیابی شاخص خشکسالی چندمتغیره MSDI و پایش خشکسالی هواشناسی - کشاورزی در استان چهارمحال و بختیاری، علوم آب و خاک (علوم و فنون کشاورزی و منابع طبیعی)، ۲۴(۳)، ۳۳-۴۷. <https://sid.ir/paper/en389858>

مصطفی‌زاده، رئوف؛ ذبیحی، محسن. (۱۳۹۵). تحلیل و مقایسه شاخص‌های SPI و SPEI در ارزیابی خشکسالی هواشناسی با استفاده از نرم‌افزار R (بررسی موردي: استان کردستان)، فیزیک زمین و فضا، ۴۲(۳)، ۶۳۳-۶۴۳. <https://doi.org/10.22067/geo.v4i3.31626>

نظری‌پور، حمید؛ کریمی، زهرا؛ صداقت، مهدی. (۱۳۹۵). ارزیابی خشکسالی هیدرو - متئورولوژیکی برپایه شاخص تلفیقی خشکسالی و پیش‌بینی آن با زنجیره مارکوف در حوضه رودخانه سرباز (جنوب شرق ایران). علوم آب و خاک، ۷۵(۲۰)، ۱۵۱-۱۶۹. <http://jstnar.iut.ac.ir/article-1-3282-fa.html>

نظری‌پور، حمید؛ کریمی، زهرا؛ صداقت، مهدی. (۱۳۹۵). ارزیابی خشکسالی هیدرو - متئورولوژیکی برپایه شاخص تلفیقی خشکسالی و پیش‌بینی آن با زنجیره مارکوف در حوضه رودخانه سرباز (جنوب شرق ایران). علوم آب و خاک، ۷۵(۲۰)، ۱۵۱-۱۶۹. <http://jstnar.iut.ac.ir/article-1-3282-fa.html>

Abramowitz, M., Stegun, I.A., (1968); Handbook of mathematical functions: with formulas, graphs, and mathematical tables (Vol. 55), Courier Corporation.

Alahacoon, N., Edirisinghe, M. (2022); A comprehensive assessment of remote sensing and traditionally based drought monitoring indices at global and regional scale. Geomatics, Natural Hazards and Risk, 13(1), 762-799. <https://doi.org/10.1080/19475705.2022.2044394>

Al Adaileh, H., Al Qinna, M., Barta, K., Al-Karablieh, E., Rakonczai, J., Alobeiaat, A., (2019). A Drought Adaptation Management System for Groundwater Resources Based on Combined Drought Index and Vulnerability Analysis. Earth Systems and Environment, 3, 445–461. <https://doi.org/10.1007/s41748-019-00118-9>.

Al-Bakri, J. T., Alnaimat, M. J., Al-Karablieh, E., & Qaryouti, E. A. (2019). Assessment of combined drought index and mapping of drought vulnerability in Jordan. International Journal of Engine Research Application, 9(3), 59-68. DOI:10.9790/9622-0903015967.

Asadi Zarch, MA., (2022); Past and Future Global Drought Assessment. Water Resources Management, 36, 5259-5276. <https://doi.org/10.1007/s11269-022-03304-z>

Asadi Zarch, M.A., Sivakumar, B., Sharma, A., (2015); Droughts in a warming climate: a global assessment of Standardized precipitation index (SPI) and Reconnaissance drought index (RDI), Journal of Hydrology, 526, 183-195. <https://doi.org/10.1016/j.jhydrol.2014.09.071>

Ault, T. R. (2020); On the essentials of drought in a changing climate. Science, 368(6488), 256-260. <https://doi.org/10.1126/science.aaz5492>

Balint, Z., Mutua, F., Muchiri, P., Omuto, C. T. (2013); Monitoring drought with the combined drought index in Kenya, In Developments in earth surface processes (Vol. 16, pp. 341-356). <https://doi.org/10.1016/B978-0-444-59559-1.00023-2>

Bayissa, Y. A., Tadesse, T., Svoboda, M., Wardlow, B., Poulsen, C., Swigart, J., Van Andel, S. J. (2019); Developing a satellite-based combined drought indicator to monitor agricultural drought: A case study for Ethiopia, GIScience & Remote Sensing, 56(5), 718-748. <https://doi.org/10.1080/15481603.2018.1552508>

- Du, L., Tian, Q., Yu, T., Meng, Q., Jancso, T., Udvardy, P., Huang, Y. (2013); A comprehensive drought monitoring method integrating MODIS and TRMM data, International Journal of Applied Earth Observation and Geoinformation, 23, 245-253. <https://doi.org/10.1016/j.jag.2012.09.010>
- Ghazala, Q., Shahina, T., Shahzada, A., Muhammad, L., (2021); Evaluation of a composite drought index to identify seasonal drought and its associated atmospheric dynamics in Northern Punjab, Pakistan, Journal of Arid Environments, 185, 104332. <https://doi.org/10.1016/j.jaridenv.2020.104332>.
- Ji, L., Peters, A. J. (2003); Assessing vegetation response to drought in the northern Great Plains using vegetation and drought indices, Remote sensing of Environment, 87(1), 85-98. [https://doi.org/10.1016/S0034-4257\(03\)00174-3](https://doi.org/10.1016/S0034-4257(03)00174-3)
- Kogan, F., Stark, R., Gitelson, A., Jargalsaikhan, L., Dugrajav, C., Tsujoi, S. (2004); Derivation of pasture biomass in Mongolia from AVHRR-based vegetation health indices, International Journal of Remote Sensing, 25(14), 2889-2896. <https://doi.org/10.1080/01431160410001697619>
- Kogan, F. N. (1995); Application of vegetation index and brightness temperature for drought detection, Advances in space research, 15(11), 91-100. [https://doi.org/10.1016/0273-1177\(95\)00079-T](https://doi.org/10.1016/0273-1177(95)00079-T)
- Kukunuri, A. N. J., Murugan, D., Singh, D. (2020); Variance-based fusion of VCI and TCI for efficient classification of agriculture drought using MODIS data, Geocarto International, 37(10), 2871-2892. <https://doi.org/10.1080/10106049.2020.1837256>
- Liu, Q., Zhang, S., Zhang, H., Bai, Y., Zhang, J. (2020); Monitoring drought using composite drought indices based on remote sensing. Science of the total environment, <https://doi.org/10.1016/j.scitotenv.2019.134585>
- Livada, I., Assimakopoulos, V. (2007); Spatial and temporal analysis of drought in Greece using the Standardized Precipitation Index (SPI), Theor. Appl. Climatol, 89, 143-153 (2007). <https://doi.org/10.1007/s00704-005-0227-z>
- Maina, F. Z., Kumar, S. V. (2023); diverging trends in rain-on-snow over High Mountain Asia. Earth's Future, 11(3), e2022EF003009. <https://doi.org/10.1029/2022EF003009>
- McKee, T. B., Doesken, N. J., Kleist, J. (1993); The relationship of drought frequency and duration to time scales, In Proceedings of the 8th Conference on Applied Climatology (Vol. 17, No. 22, pp. 179-183).
- Orimoloye, I. R., Belle, J. A., Orimoloye, Y. M., Olusola, A. O., Ololade, O. O. (2022); Drought: A common environmental disaster, Atmosphere, 13(1), 111. <https://doi.org/10.3390/atmos13010111>
- Parvaze, S., Kumar, R., Khan, J. N., & Parvaze, S. (2023); Climate change, drought, and water resources. In Integrated Drought Management, Volume 1 (pp. 541-568). CRC Press. <https://doi.org/10.1201/9781003276555>
- Pratap, S., Markonis, Y. (2022); The response of the hydrological cycle to temperature changes in recent and distant climatic history, Progress in Earth and Planetary Science, 9(1), 30. <https://doi.org/10.1186/s40645-022-00489-0>
- Torabi Haghighi, A., Abou Zaki, N., Rossi, P. M., Noori, R., Hekmatzadeh, A. A., Saremi, H., Kløve, B. (2020); Unsustainability syndrome from meteorological to agricultural drought in arid and semi-arid regions. Water, 12(3), 838. <https://doi.org/10.3390/w12030838>
- Zhang, R., Shangguan, W., Liu, J., Dong, W., & Wu, D. (2024); Assessing meteorological and agricultural drought characteristics and drought propagation in Guangdong, China. Journal of Hydrology: Regional Studies, 51, 101611. <https://doi.org/10.1016/j.ejrh.2023.101611>
- Zou, L., Cao, S., Sanchez-Azofeifa, A. (2020); Evaluating the utility of various drought indices to monitor meteorological drought in Tropical Dry Forests, Int J Biometeorol, 64, 701-711, <https://doi.org/10.1007/s00484-019-01858-z>.

References

References (in Persian)

- Arabi, Z., & Mohammadi, S. (2021); Monitoring Spatio-temporal pattern of drought using multi-satellite data during the period 2000-2018 (Case study: Iran), Journal of Natural Environmental Hazards, 10(30), 83-104, <https://doi.org/10.22111/jneh.2021.34785.1679> [In Persian]
- Arjmandi, Z., Asadi Zarch, M. A., Seyed Zeynalabedin, H., & Mohammad Reza, E. (2022); Forecasting Drought in Arid Regions Using Global Climate Models: A Case Study of Yazd Province, Iran. Desert Ecosystem Engineering, 10(32), 97-112. [10.22052/DEEJ.2021.10.32.51](https://doi.org/10.22052/DEEJ.2021.10.32.51) [In Persian]
- Azimi, S., Khosh Raves, M., Ghale Noee, M.A., Pirouzi Nezhad, S. (2017); Evaluation of SPI index for drought severity zoning by comparing three interpolation methods Ordinary Kriging, IDW and Spline (case study: Razavi Khorasan province), The second national hydrology conference of Iran, Shahrekord. <https://civilica.com/doc/661411> [In Persian]
- Damavandi, A., A., Rahimi, M., Yazdani, M., R., Noroozi, A., A., (2016); Spatial Monitoring of Agricultural Drought through Time Series of NDVI and LST indices of MODIS data (Case study: Markazi Province), Scientific- Research Quarterly of Geographical Data (SEPEHR), 25(99), 115-126. <https://sid.ir/paper/253158/en> [In Persian]
- Karami, E., (2016); Climate Change, Drought and Poverty in Iran: A Perspective of Future, Strategic Research Journal of Agricultural Sciences and Natural Resources, 1(1), 63-80. <https://doi.org/10.22047/srjasnr.2016.110532> [In Persian]
- Kazempour Choursi, S., Erfanian, M., Ebadi Nehari, Z., (2019); Evaluation of MODIS and TRMM Satellite Data for Drought Monitoring in the Urmia Lake Basin, Journal of Geography and Environmental Planning, 30(2), 17-34. <https://doi.org/10.22108/gep.2019.115381.1115> [In Persian]
- Khalil Fard, R., Karke Abadi, Z., (2019), Reviews of climate, geology, slope and environmental factors in Shahrekord city and its surroundings according to geographic maps, International Conference on Security, Progress and Sustainable Development of Border Regions, Territories and Metropolises, Solutions and Challenges with a focus on passive defense and crisis management, Tehran. <https://civilica.com/doc/876098> [In Persian]
- Khodaei, M., Shad, R., Maghsoudi, Y., (2015); Introducing drought satellite indicators and evaluating their performance, National Conference on Civil Engineering and Needs-Based Research, Mashhad. <https://civilica.com/doc/461245> [In Persian]
- Mohit Esdahani, P., Soltani, S., Modarres, R., Pourmanafi, S., (2020); Assessment of Multivariate Standardized Drought Index (MSDI) and Meteoro-Agricultural Drought Monitoring in Chaharmahal and Bakhtiari Province. Water And Soil Science (Journal of Science And Technology of Agriculture And Natural Resources), 24(3), 33-47. <https://sid.ir/paper/389858/en> [In Persian]
- Mostafazadeh, R., Zabihi, M., (2016); Comparison of SPI and SPEI indices to meteorological drought assessment using R programming (Case study: Kurdistan Province), Journal of the Earth and Space Physics, Vol. 42, No. 3, P. 13. <https://doi.org/10.22059/jesphys.2016.57881> [In Persian]
- Nazaripour, H. (2015). Development of a New Comprehensive Multivariate Aggregate Drought Index (ADI) based on Principal Component Analysis (PCA) for Hydro-Meteorological Droughts Assessment in the Southeast of Iran (Case Study: Pishin Dam Basin). Journal of Geography and Environmental Hazards, 4(3), 91-112. doi: 10.22067/geo.v4i3.31626 [In Persian]
- Nazaripour, H., Karimi, Z., Sedaghat, M., (2016); Hydro-Meteorological Drought Assessment Based on Aggregate Drought Index (ADI) and its prediction with Markov Chain in Sarbaz River Basin (Southeast of Iran). jwss 2016; 20 (75) :151-169. <http://jstnar.iut.ac.ir/article-1-3282-en.html> [In Persian]
- Shafii, B., Barghi, H., Ghanbari, Y., (2019); The study of drought effects on the economic, social and environmental conditions of rural areas from the viewpoint of heads of households, Journal of Applied Research in Geographical Sciences, 19 (55):173-191. <http://jgs.knu.ac.ir/article-1-3035-fa.html> [In Persian]
- Shahbazi, K., Heshmati, M., Saeedifar, Z., (2021); Investigating the Effect of Climate Change on Drought and Desertification Risk in Kermanshah Province, Journal of Desert Management, 8 (16), 183-200, [10.22034/JDMAL.2021.243136](https://doi.org/10.22034/JDMAL.2021.243136) [In Persian]
- Tabatabaii Zadeh, M., Hadian, F., Hosseini, S.Z., Barkhordari, J., Khosravi, H., (2014); Investigation of arid vegetation compatibility toward precipitation variation with NDVI index (a case study, Ardakan-Aghda plain), Journal of Natural Ecosystems of Iran, 5(1), 23-36. <https://sanad.iau.ir/Journal/nei/Article/983440> [In Persian]
- Zare Bidaki, R., Yazdandoost, O., Rahimian, M. H., Gharahi, N., (2022); Combining climate information and remote sensing in the integrated drought index, for zoning of drought the Yazd-Ardakan plain. Management of Natural Ecosystems, 2(1), 36-48. doi: 10.22034/emj.2022.252719 [In Persian]

References (in English)

- Abramowitz, M., Stegun, I.A., (1968); Handbook of mathematical functions: with formulas, graphs, and mathematical tables (Vol. 55), Courier Corporation.
- Alahacoon, N., Edirisinghe, M. (2022); A comprehensive assessment of remote sensing and traditionally based drought monitoring indices at global and regional scale. Geomatics, Natural Hazards and Risk, 13(1), 762-799. <https://doi.org/10.1080/19475705.2022.2044394>

- Al Adaileh, H., Al Qinna, M., Barta, K., Al-Karablieh, E., Rakonczai, J., Alobeiaat, A., (2019). A Drought Adaptation Management System for Groundwater Resources Based on Combined Drought Index and Vulnerability Analysis. *Earth Systems and Environment*, 3, 445–461. <https://doi.org/10.1007/s41748-019-00118-9>.
- Al-Bakri, J. T., Alnaimat, M. J., Al-Karablieh, E., & Qaryouti, E. A. (2019). Assessment of combined drought index and mapping of drought vulnerability in Jordan. *International Journal of Engine Research Application*, 9(3), 59-68. DOI:10.9790/9622-0903015967.
- Asadi Zarch, MA., (2022); Past and Future Global Drought Assessment. *Water Resources Management*, 36, 5259-5276. <https://doi.org/10.1007/s11269-022-03304-z>
- Asadi Zarch, M.A., Sivakumar, B., Sharma, A., (2015); Droughts in a warming climate: a global assessment of Standardized precipitation index (SPI) and Reconnaissance drought index (RDI), *Journal of Hydrology*, 526, 183-195. <https://doi.org/10.1016/j.jhydrol.2014.09.071>
- Ault, T. R. (2020); On the essentials of drought in a changing climate. *Science*, 368(6488), 256-260. <https://doi.org/10.1126/science.aaz5492>
- Balint, Z., Mutua, F., Muchiri, P., Omuto, C. T. (2013); Monitoring drought with the combined drought index in Kenya, In *Developments in earth surface processes* (Vol. 16, pp. 341-356). <https://doi.org/10.1016/B978-0-444-59559-1.00023-2>
- Bayissa, Y. A., Tadesse, T., Svoboda, M., Wardlow, B., Poulsen, C., Swigart, J., Van Andel, S. J. (2019); Developing a satellite-based combined drought indicator to monitor agricultural drought: A case study for Ethiopia, *GIScience & Remote Sensing*, 56(5), 718-748. <https://doi.org/10.1080/15481603.2018.1552508>
- Du, L., Tian, Q., Yu, T., Meng, Q., Janso, T., Udvardy, P., Huang, Y. (2013); A comprehensive drought monitoring method integrating MODIS and TRMM data, *International Journal of Applied Earth Observation and Geoinformation*, 23, 245-253. <https://doi.org/10.1016/j.jag.2012.09.010>
- Ghazala, Q., Shahina, T., Shahzada, A., Muhammad, L., (2021); Evaluation of a composite drought index to identify seasonal drought and its associated atmospheric dynamics in Northern Punjab, Pakistan, *Journal of Arid Environments*, 185, 104332. <https://doi.org/10.1016/j.jaridenv.2020.104332>.
- Ji, L., Peters, A. J. (2003); Assessing vegetation response to drought in the northern Great Plains using vegetation and drought indices, *Remote sensing of Environment*, 87(1), 85-98. [https://doi.org/10.1016/S0034-4257\(03\)00174-3](https://doi.org/10.1016/S0034-4257(03)00174-3)
- Kogan, F., Stark, R., Gitelson, A., Jargalsaikhan, L., Dugrajav, C., Tssoj, S. (2004); Derivation of pasture biomass in Mongolia from AVHRR-based vegetation health indices, *International Journal of Remote Sensing*, 25(14), 2889-2896. <https://doi.org/10.1080/01431160410001697619>
- Kogan, F. N. (1995); Application of vegetation index and brightness temperature for drought detection, *Advances in space research*, 15(11), 91-100. [https://doi.org/10.1016/0273-1177\(95\)00079-T](https://doi.org/10.1016/0273-1177(95)00079-T)
- Kukunuri, A. N. J., Murugan, D., Singh, D. (2020); Variance-based fusion of VCI and TCI for efficient classification of agriculture drought using MODIS data, *Geocarto International*, 37(10), 2871-2892. <https://doi.org/10.1080/10106049.2020.1837256>
- Liu, Q., Zhang, S., Zhang, H., Bai, Y., Zhang, J. (2020); Monitoring drought using composite drought indices based on remote sensing. *Science of the total environment*, <https://doi.org/10.1016/j.scitotenv.2019.134585>
- Livada, I., Assimakopoulos, V. (2007); Spatial and temporal analysis of drought in Greece using the Standardized Precipitation Index (SPI), *Theor. Appl. Climatol*, 89, 143–153 (2007). <https://doi.org/10.1007/s00704-005-0227-z>
- Maina, F. Z., Kumar, S. V. (2023); diverging trends in rain-on-snow over High Mountain Asia. *Earth's Future*, 11(3), e2022EF003009. <https://doi.org/10.1029/2022EF003009>
- McKee, T. B., Doesken, N. J., Kleist, J. (1993); The relationship of drought frequency and duration to time scales, In *Proceedings of the 8th Conference on Applied Climatology* (Vol. 17, No. 22, pp. 179-183).
- Orimoloye, I. R., Belle, J. A., Orimoloye, Y. M., Olusola, A. O., Ololade, O. O. (2022); Drought: A common environmental disaster, *Atmosphere*, 13(1), 111. <https://doi.org/10.3390/atmos13010111>
- Parvaze, S., Kumar, R., Khan, J. N., & Parvaze, S. (2023); Climate change, drought, and water resources. In *Integrated Drought Management*, Volume 1 (pp. 541-568). CRC Press. <https://doi.org/10.1201/9781003276555>
- Pratap, S., Markonis, Y. (2022); The response of the hydrological cycle to temperature changes in recent and distant climatic history, *Progress in Earth and Planetary Science*, 9(1), 30. <https://doi.org/10.1186/s40645-022-00489-0>
- Torabi Haghighi, A., Abou Zaki, N., Rossi, P. M., Noori, R., Hekmatzadeh, A. A., Saremi, H., Kløve, B. (2020); Unsustainability syndrome from meteorological to agricultural drought in arid and semi-arid regions. *Water*, 12(3), 838. <https://doi.org/10.3390/w12030838>
- Zhang, R., Shangguan, W., Liu, J., Dong, W., & Wu, D. (2024); Assessing meteorological and agricultural drought characteristics and drought propagation in Guangdong, China. *Journal of Hydrology: Regional Studies*, 51, 101611. <https://doi.org/10.1016/j.ejrh.2023.101611>
- Zou, L., Cao, S., Sanchez-Azofeifa, A. (2020); Evaluating the utility of various drought indices to monitor meteorological drought in Tropical Dry Forests, *Int J Biometeorol*, 64, 701–711, <https://doi.org/10.1007/s00484-019-01858-z>.